

بِسْمِ اللَّهِ الرَّحْمَنِ الرَّحِيمِ



دانشکده برق و رباتیک

گروه کنترل

عنوان:

تولید باقی مانده مقاوم برای تشخیص خطا با استفاده از بهینه سازی H_2/H_∞

نگارش:

مجتبی اسماعیل نیا شیروانی

استاد راهنما:

دکتر محمد علی صدرنیا

پایان نامه ارشد جهت اخذ درجه کارشناسی ارشد

۱۳۹۰ آذر

تقدیم به پدر و مادرم که به من چگونه زیستن آموختند

به برادرم که مشوق راهم بود

با تشکر و قدردانی فراوان از استاد راهنما

دکتر محمدعلی صدرنیا

که ماهی دانشم را در دریای علم خود پروراند.

با تشکر از تمامی دوستان عزیر به ویژه

مهندس سید محمد هاشم زاده

که در این مدت مرا یاری کردند.

تعهدنامه

اینجانب مجتبی اسماعیل نیا شیروانی کارشناسی ارشد رشته مهندسی برق گرایش کنترل دانشکده برق و رباتیک دانشگاه صنعتی شاهرود نویسنده پایان نامه تولید باقی مانده مقاوم برای تشخیص خطأ به روش بهینه سازی H_2/H_∞ تحت راهنمایی دکتر محمد علی صدرنیا متعهد می شوم.

- تحقیقات در این پایان نامه توسط اینجانب انجام شده است و از صحت و اصالت برخوردار است.
- در استفاده از نتایج پژوهش های محققان دیگر به مرجع مورد استفاده استناد شده است.
- مطالب مندرج در پایان نامه تا کنون توسط خود یا فرد دیگری برای دریافت هیچ نوع مدرک یا امتیازی در هیچ جا ارائه نشده است.
- کلیه حقوق معنوی این اثر متعلق به دانشگاه صنعتی شاهرود می باشد و مقالات مستخرج شده با نام «دانشگاه صنعتی شاهرود» و یا «Shahrood University of Technology» به چاپ خواهد رسید.
- حقوق معنوی تمام افرادی که در به دست آمدن نتایج اصلی پایان نامه تأثیرگذار بوده اند در مقالات مستخرج از پایان نامه رعایت می گردد.
- در کلیه مراحل انجام این پایان نامه ، در مواردی که از موجودات زنده(یا بافت های آنها) استفاده شده است ضوابط و اصول اخلاقی رعایت شده است.
- در کلیه مراحل انجام این پایان نامه، در مواردی که به حوزه اطلاعات شخصی افراد دسترسی یافته یا استفاده شده است اصل رازداری،ضوابط و اصول اخلاق انسانی رعایت شده است.

تاریخ

امضای دانشجو

مالکیت نتایج و حق نشر

- کلیه حقوق معنوی این اثر و محصولات آن(مقالات مستخرج، کتاب، برنامه های رایانه ای،نرم افزارها و تجهیزات ساخته شده است)متعلق به دانشگاه صنعتی شاهرود می باشد.این مطلب باید به نحو مقتضی در تولیدات علم مربوطه ذکر شود.
- استفاده از اطلاعات و نتایج موجود در پایان نامه بدون ذکر مرجع مجاز نمی باشد.

چکیده:

با پیشرفت و گسترش سیستم های دینامیکی، روش های کنترلی پیچیده ای در طول چند دهه اخیر جهت کنترل آنها به کار گرفته شد. اما بروز خطا در هر سیستم و فرآیند دینامیکی اجتناب ناپذیر است و می تواند صدمات جانی، مالی و زیست محیطی به بار آورد. به همین جهت بحث امنیت و ایمنی سیستم ها امروزه بسیار مورد توجه محققان قرار گرفته است. در صورت بروز یک خطا ، اولین گام برای مقابله با آن شناسایی آن است. هر چه زمان شناسایی کمتر باشد زودتر می توان با خطای ایجاد شده مقابله نمود.

اما مشکل اصلی که سیستم های عملی با آن رو به رو هستند وجود اغتشاشات و نویز است که به سیستم وارد می شوند و دارای تأثیری مشابه بر روی سیگنال شاخص خطا(باقی مانده) هستند به همین جهت تمایز بین اثر خطا روی باقی مانده و اثر اغتشاش روی باقی مانده نیازمند راه حل پیچیده ای است. طراحی سیستم تشخیص خطا به گونه ای که بتواند اثر اغتشاش و نویز را در سیگنال باقی مانده به حداقل رسانده و اثر خطا را به حداقل برساند، باعث پیدایش شاخه ای در سیستم های تشخیص خطا شده است که امروزه با نام تشخیص خطای مقاوم شناخته می شود.

هدف اصلی در یک سیستم تشخیص خطا ، تولید سیگنالی به نام باقی مانده است که عملیات تصمیم گیری بر اساس آن صورت می گیرد. در این پایان نامه طراحی فیلتر تشخیص خطا به روش معادلات توازن با معیار H_2/H_∞ بیان شده است و با انجام شبیه سازی های مورد نیاز بر روی مدل هواییمای بوئینگ 747، سرعت مطلوب این فیلتر در تشخیص خطای ورودی و حساس بودن به خطای وارد ، داشتن حساسیت معقول نسبت به اغتشاش و عکس العمل قابل قبول نسبت به همه مدل های خطا از مزایای این فیلتر به حساب می آید.

کلمات کلیدی: تولید باقی مانده ، تشخیص خطای مقاوم ، فیلتر H_2/H_∞

فهرست مطالب

۱.....	فصل اول مقدمه
۲.....	۱.۱ مقدمه
۳.....	۲.۱ تشخیص خطای پایه مدل
۴.....	۳.۱ تشخیص خطای مقاوم
۶.....	فصل دوم تشخیص خطای مقاوم
۷.....	۱.۲ مقدمه
۹.....	۲.۲ اتوماسیون یک فرآیند و نظارت بر آن
۱۲.....	۳.۲ مدل های خطای
۱۲.....	۴.۲ مدل های پایه ای خطای
۱۴.....	۵.۲ نمونه هایی از مدل های خطای
۱۵.....	۱.۵.۲ خطای سنسوری
۱۶.....	۲.۵.۲ خطای محرک
۱۸.....	۳.۵.۲ خطای اجزای سیستمی
۱۹.....	۶.۲ تشخیص خطای عیب یابی
۱۹.....	۱.۶.۲ تولید نشانه های تحلیی

۲۰	۲.۶.۲ تولید نشانه های ابتکاری
۲۰	۷.۲ عیب یابی خطای خطا
۲۱	۸.۲ روش های تشخیص خطای خطا مبتنی بر مدل
۲۲	۹.۲ تشخیص خطای خطا با استفاده از روش های شناسایی فرآیند
۲۴	۱۰.۲ تشخیص خطای خطا با استفاده از رویتگر حالت و تخمین زن حالت
۲۵	۱۱.۲ رویتگرهای حالت
۲۶	۱.۱۱.۲ خطای جمع شونده
۲۷	۲.۱۱.۲ خطای ضرب شونده
۲۸	۱۲.۲ رویتگرهای خروجی
۲۹	۱۳.۲ تشخیص خطای خطا با استفاده از معادلات توازن
۳۳	فصل سوم طراحی فیلتر H_2/H_∞ جهت تشخیص خطای مقاوم
۳۴	۱.۳ مقدمه
۳۴	۱.۱.۳ ماتریس انتقال
۳۴	۲.۱.۳ نرم ها در حالت پیوسته
۳۵	۳.۱.۳ فاکتور اول چپ

۳۶.....	۴.۱.۳ فاکتور طیفی
۳۷.....	۲.۳ بیان مسئله
۴۲.....	۳.۳ طراحی فیلتر H_2/H_{∞} تشخیص خطا به روش
۴۷.....	فصل چهارم نتایج شبیه سازی
۴۸.....	۱.۴ مقدمه
۴۸.....	۲.۴ بررسی هواپیما بوئینگ ۷۴۷
۴۹.....	۱.۲.۴ بیان ریاضی مسئله
۵۷.....	۳.۴ خطا و اغتشاش پله واحد
۶۱.....	۴.۴ خطا و اغتشاش شبیب واحد
۶۳.....	۵.۴ خطا و اغتشاش سیگنال متناوب
۶۶.....	۶.۴ نتیجه گیری
۶۸.....	مراجع

فهرست اشکال

۹ شکل(۲-۱) : طرحی ساده از یک سیستم اتوماسیون
۱۱ شکل(۲-۲) : ساختارهای مختلف یک سیستم
۱۳ شکل(۲-۳): رفتار خطابا توجه به زمان
۱۴ شکل (۴-۲): خطای جمع شونده
۱۴ شکل(۲-۵): خطای ضرب شونده
۱۶ شکل(۲-۶): انواع خطاهای سنسوری
۱۷ شکل(۷-۲) : خطاهای محرک ها
۲۲ شکل(۸-۲): ساختار پایه ای خطا
۲۳ شکل(۹-۲): ساختار معادلات خطا
۲۴ شکل(۱۰-۲): ساختار خطای خروجی
۲۶ شکل(۱۱-۲): سیستم تشخیص خطا
۲۷ شکل(۱۲-۲): سیستم با خطای جمع شونده
۲۹ شکل(۱۳-۲): سیستم رویتگر خروجی
۳۰ شکل(۱۴-۲): عملکرد کلی روش معادلات توازن

..... ۳۱	شكل(۲-۱): ساختار خطای خروجی
..... ۳۱	شكل(۲-۲): ساختار خطای چند جمله ای
..... ۴۰	شكل(۳-۱) : ساختار کلی سیستم تشخیص خطای مقاوم
..... ۵۲	شكل(۴-۱): صحت عملکرد کوپریم اول طراحی شده
..... ۵۴	شكل(۴-۲): دیاگرام بود فیلتر طراحی شده
..... ۵۵	شكل(۴-۳): اولین سیگنال تفاضلی قبل از فیلتر، بدون خطأ و اغتشاش
..... ۵۵	شكل(۴-۴): دومین سیگنال تفاضلی قبل از فیلتر بدون خطأ و اغتشاش
..... ۵۶	شكل(۴-۵): اولین سیگنال باقی مانده با عبور از فیلتر، بدون خطأ و اغتشاش
..... ۵۶	شكل(۴-۶): دومین سیگنال باقی مانده با عبور از فیلتر، بدون خطأ و اغتشاش
..... ۵۷	شكل(۴-۷): اولین سیگنال باقی مانده با ورودی اغتشاش، قبل از فیلتر بدون خطأ
..... ۵۷	شكل(۴-۸): دومین سیگنال باقی مانده با ورودی اغتشاش، قبل از فیلتر بدون خطأ
..... ۵۸	شكل(۴-۹): اولین سیگنال باقی مانده به ورودی اغتشاش پس از عبور از فیلتر بدون خطأ
..... ۵۸	شكل(۴-۱۰): دومین سیگنال باقی مانده به ورودی اغتشاش پس از عبور از فیلتر بدون خطأ
..... ۵۹	شكل(۴-۱۱): اولین سیگنال باقی مانده به ورودی خطأ قبل از فیلتر بدون اغتشاش
..... ۵۹	شكل(۴-۱۲): دومین سیگنال باقی مانده به ورودی خطأ قبل از فیلتر بدون اغتشاش

..... شکل(۱۳-۴): اولین سیگنال باقی مانده به ورودی خط پس از فیلتر بدون اغتشاش	۶۰
..... شکل(۱۴-۴): دومین سیگنال باقی مانده به ورودی خط پس از فیلتر بدون اغتشاش	۶۰
..... شکل(۱۵-۴): اولین سیگنال باقی مانده به ورودی اغتشاش	۶۱
..... شکل(۱۶-۴): دومین سیگنال باقی مانده به ورودی اغتشاش	۶۱
..... شکل(۱۷-۴): اولین سیگنال باقی مانده به ورودی خط	۶۲
..... شکل(۱۸-۴): دومین سیگنال باقی مانده به ورودی خط	۶۲
..... شکل(۱۹-۴): ورودی خطای متناوب	۶۳
..... شکل(۲۰-۴): اولین سیگنال باقی مانده به ورودی خط	۶۳
..... شکل(۲۱-۴): دومین سیگنال باقی مانده به ورودی خط	۶۴
..... شکل(۲۲-۴): اولین سیگنال باقی مانده به ورودی اغتشاش	۶۴
..... شکل(۲۳-۴): دومین سیگنال باقی مانده به ورودی اغتشاش	۶۵
..... شکل(۲۴-۴): اولین سیگنال باقی مانده به ورودی خط و اغتشاش	۶۵
..... شکل(۲۵-۴): دومین سیگنال باقی مانده به ورودی خط و اغتشاش	۶۶

فصل اول

مقدمه

۱.۱- مقدمه:

در طول چند دهه گذشته ، سیستم های دینامیکی به علت استفاده از کنترل کننده های پیچیده و محرک های پیشرفته به سیستم هایی بسیار پیچیده مبدل گشته اند. با این شرایط این سیستم های پیچیده به هیچ عنوان قابل اطمینان نیستند بدین معنی که نمی توان گفت تمامی اجزا و واحدهای کنترلی و محرک ها تحت تمامی شرایط سیستمی و محیطی به طور کامل و دقیق کار می کنند. عدم کارآیی در این سیستم ها باعث بروز ناهماهنگی در سیستم کنترلی می گردد. برای عدم کارآیی تجهیزات می توان به مواردی همچون خطای اندازه گیری سنسور یا کاهش بازدهی محرک ها اشاره کرد. که در این بحث ها نحوه مدل کردن این خطا و نحوه نمایش آنها بیان خواهد شد.^[۱]

یک خطای ساده در سیستم های پیچیده امروزی مانند هوایپیماها و فرآیندهای پتروشیمی می تواند منجر به فاجعه ای هولناک شود. این حوادث هولناک می توانند باعث کاهش چشمگیری در بازده سیستم، خسارات جدی برای سیستم، فاجعه ای زیست محیطی و خسارات جانی شوند. برای یک خطای ساده می توان به سنسوری که اندازه گیری دقیق خود را در زمان مشخص انجام ندهد اشاره نمود.^[۲] بنابراین طراحی سیستم کنترلی که بتواند با خطا یا خطاهای احتمالی برخورد مناسب کند الزامی است. به سیستمی که چنین توانایی را دارا باشد سیستم های کنترلی تحمل پذیر خطا^۱ می گویند.^[۱]

برای طراحی سیستم ها کنترلی تحمل پذیر خطا دو رویکرد اصلی وجود دارد: رویکرد غیر فعال^۲ و رویکرد فعال^۳. سیستم های غیر فعال کنترل تحمل پذیر خطا، از یک طراحی ثابت برای اصلاح کردن همه خطا ها و اشتباهات استفاده می کند. اما از آنجائیکه در یک سیستم ممکن است انواع خطاهای مختلف وجود داشته باشد به همین دلیل طراحی سیستم کنترلی تحمل پذیر خطا به نسبت سخت و در

¹ Fault tolerant control system(FTCS)

² Passive approach

³ Active approach

بعضی موارد غیر ممکن می شود. اما از طرف دیگر ، در سیستم کنترلی فعال تحمل پذیر خطا ، اندازه گیری های مختلف ، متناظر با خطاهای متفاوت را در نظر گرفته می شود و در نهایت نیز تصمیم بهتری برای برخورد با خطا اتخاذ می گردد. با این وجود ، کنترل فعال تحمل پذیر خطا نیازمند عیب یابی سریع و عکس العمل مناسب بعد از رخ دادن خطاست. این عیب یابی خطا^۴ و فرآیند تصمیم گیری به عنوان تشخیص خطا^۵ تعریف می شوند که در مباحث بعدی پیرامون آن بحث خواهد شد.[۳]

۲.۱-تشخیص خطا بر پایه مدل^۶

اکثر تکنیک ها و نظریات تشخیص خطا را می توان به دو گروه عمدۀ دسته بندی نمود : تشخیص خطای بدون مدل^۷ [۱] او تشخیص خطای بر پایه مدل. رویکرد بدون مدل ، بدون دانستن و آگاهی از مدل سیستم ، خطا را تشخیص می دهد. در حالت کلی این رویکرد با استفاده از تکنیک های داده ای مانند شبکه های عصبی و داده کاوی^۸ برای رسیدن به این هدف استفاده می کنند از ویژگی های این روش می توان به حجم بالای اندازه گیری های سیستمی اشاره کرد.[۳] روش تشخیص خطای بدون مدل در بعضی موارد می تواند مؤثر باشد مخصوصاً زمانی که اطلاعات مدل ریاضی سیستم در دسترس نیست و یا دارای پیچیدگی محاسباتی می باشد. [۴]

از طرف دیگر رویکرد بر پایه مدل از اطلاعات قبلی مدل ریاضی سیستم برای تشخیص خطا استفاده می نماید. زمانی که اطلاعات مدل ریاضی سیستم در دسترس باشد ، رویکرد بر پایه مدل به طور عمومی سریعتر و دقیق تر از رویکرد بدون مدل است.[۲],[۳] در طول بیست سال گذشته عیب یابی خطا در

⁴ Fault diagnosis

⁵ Fault detection

⁶ Model base

⁷ Model free

⁸ Data mining

سیستم های دینامیکی ، چه در حوزه های بدون مدل و بر پایه مدل مورد توجه محققان زیادی قرار گرفته است که در [۱]، [۲]، [۳]، [۴] قابل مشاهده هستند.

۳.۱ - تشخیص خطای مقاوم

هدف سیستم تشخیص خطای بر پایه مدل ، طراحی مکانیزمی است که بتواند سیگنال های شناسایی خط را تولید کند. این سیگنال ها که سیگنال های باقی مانده^۹ نامیده می شوند با سطوح آستانه ای که از قبل تعریف شده اند مقایسه می گردند و در نهایت بروز خطا را اعلام می دارند. برای رسیدن به این هدف تکنیک های تشخیص زیادی مورد مطالعه قرار گرفته است[۴] یکی از روش های منحصر به فرد در بین همه روش های تشخیص خطا ، طراحی فیلتر تشخیص خطا بر پایه رویتگر ها است.[۵] در بسیاری از تحقیقات تئوری نشان داده است که تشخیص خطا بر پایه رویتگر برای تشخیص انواع خطاهای مانند: خطای سنسوری، خطای محرک ها و خطای اجزا بسیار مناسب و دقیق است اما استفاده از این روش در سیستم های عملی بسیار سخت و در مواردی غیر ممکن است. [۶]

زیرا که اغتشاشات شناخته شده و ناشناخته ، نویز و نا معینی های مدل از موارد اجتناب ناپذیر در سیستم های عملی هستند. زمانی یک سیستم تشخیص خطا ، مقاوم و قابل اطمینان است که در روند طراحی فیلتر، اثرات این پارامترها در نظر گرفته شده باشد. با این وجود یافتن روش های سیستماتیک برای تحت کنترل در آوردن اغتشاشات ناشناخته و نامعینی های مدل بسیار دشوار است. بسیاری از تکنیک های طراحی فیلترهای مقاوم مانند : H_{∞} بهینه شده ، LMI و تکنیک μ با موفقیت های محدودی ، در این زمینه به کار گرفته می شوند[۶]، [۷]، [۸]، [۹]، [۱۰] دلیل بعضی محدودیت های این روش ها به این خاطر است که طراحی فیلتر تشخیص خطای مقاوم یک عمل چند هدفه است.

^۹ Residual

این فیلتر نه فقط باید قادر به حذف اغتشاشات و نویز جهت تعیین خطا باشد و در عین حال نیز به نامعینی های مدل غیر حساس باشد ، باید تا جایی که امکان دارد حساس به انواع خطاهای موجود نیز باشد و در صورت بروز خطا آن را به سرعت نیز تشخیص دهد. اما متأسفانه این دو هدف در تناقض با همدیگر می باشند. بنابراین مصالحه بین این دو هدف از معیارهای فرآیند طراحی است.[۱۰] برای رفع این مشکل معیار هایی را برای هر دو هدف تعریف می کنند که از معروفترین آنها می توان به نرم H_2 و نرم H_∞ ماتریس انتقال اشاره کرد.

مقادیر ماتریس های انتقال از اغتشاش به خروجی سیستم تشخیص خطا (باقی مانده) می تواند میزان کیفیت حذف این اغتشاش را نشان دهد. در بعضی موارد نیز نرم H_2 از ورودی به خروجی باقی مانده نیز می تواند نشانگر میزان حساسیت به خطا باشد. شاخص H نیز از مشخصه های مناسب برای طراحی سیستم تشخیص خطاست. این شاخص توسط Hou و Patten [۱۱][معرفی گردید و بعدها توسط Liu et al گسترش یافت [۱۲] با مفاهیم تعریف شده ، برای رسیدن به اهداف کنترلی تشخیص خطا، مسائل جدیدی مطرح شد و روش های بهینه سازی نیز برای کاهش اثر اغتشاش و حداقل سازی اثر خطا به کار گرفته شدند ، برای نمونه می توان به موارد زیر اشاره کرد: H_2/H_2 ، H_2/H_∞ ، H_∞/H_∞ ، H_2/H_∞ و H_2/H_2 [۱۳].

از آنجاییکه سیستم های دینامیکی امروزه توسط تجهیزات گسسته (دیجیتالی) کنترل می شوند. مفاهیم تشخیص خطا در حوزه گسسته نیز امروزه مورد توجه محققان قرار گرفته است. از پر کاربردترین روش های تشخیص خطا در حوزه گسسته ، استفاده از فیلتر کالمون است. در حوزه گسسته نیز همانند حوزه پیوسته افراد با مشکل چند هدفه بودن روند طراحی مواجه هستند. در تمام این مسائل هدف حداقل کردن اثر خطا بر سیگنال باقی مانده و حداقل نمودن اثر اغتشاشات شناخته شده و ناشناخته بر سیگنال باقی مانده است.[۱۴] ، [۱۱] ، [۷]

فصل دوم

تشخیص خطای مقاوم

۱.۲ - مقدمه:

از حدود سال ۱۹۶۰ نفوذ اتوماسیون بر عملکرد و طراحی سیستم‌ها افزایش چشمگیری پیدا کرد. این افزایش تقاضا به علت عملکرد مطلوب پروسه‌ها و کیفیت خوب محصولات بود که عدم وابستگی عملکرد فرآیند از حضور انسان و خلاص کردن ابراتور از انجام کارهای یکنواخت و تکراری و کاهش هزینه دستمزدها را به همراه داشت.^[۸] میزان کاربرد اتوماسیون حدود سال ۱۹۷۵ به شدت افزایش یافت زیرا در همان زمان‌ها بود که میکروکامپیوترهای قابل اطمینان و به نسبت ارزان در دسترس قرار گرفتند که می‌توانستند چند مشکل اتوماسیون را با استفاده از یک قطعه رفع کنند. این تکنولوژی به طور موازی با پیشرفت در زمینه‌های سنسورها، محرک‌ها، باس‌های ارتباطی و واسطه‌های انسان و ماشین(HMI)^{۱۰} در حال انجام بود. بهبود و رشد در مفاهیم تئوری عملکرد پروسه‌ها و اتوماسیون نیز نقش بزرگی را در این زمینه ایفا می‌کرد.^[۱۲]

در طی پیشرفت کنترل اتوماتیک در طول سه دهه گذشته، سیستم‌های فنی و واحدهای ناظری در فرآونی به کار گرفته شدند تا حالت‌های ناخواسته و غیر مجاز فرآیندها را تشخیص دهند و عکس‌العملی مناسب، جهت حفظ عملکرد فرآیند برای جلوگیری از رخداد حادثه و یا فاجعه‌ای عظیم انجام دهند. این واحدهای ناظری را به شرح زیر می‌توان نشان داد:^[۱۵]

(a) مانیتورینگ: متغیرهای اندازه‌گیری با مقادیر دارای تلورانس چک می‌شوند و هشدار لازم را برای کاربر تولید می‌کنند.

(b) حفاظت اتوماتیک: در مورد حالت‌های فرآیندهای خطناک، توابع مانیتورینگ به طور خودکار اقدام متقابلی را انجام می‌دهند تا اثر خطای وارد را به حداقل برسانند.

^{۱۰} Human Machine Interface

۵) نظارت به همراه عیب یابی خطا: بر پایه متغیرهای قابل اندازه گیری ، روند محاسباتی انجام می گیرد و از طریق تشخیص تغییرات، نشانه‌ها (علائم هشدار) تولید می گردند و عیب یابی خطا اجرا می شود و تصمیم برای اقدام متقابل اتخاذ می گردد.

نظارت های اتوماتیک [۶] در گذشته توسط بررسی حد یا سطح آستانه بعضی متغیرهای مهم فرآیند مانند: نیرو، سرعت، فشار، سطح مایع و دماها صورت می گرفت. معمولاً زمانی که مقدار متغیر از سطح تعیین شده فراتر می رفت هشداری به کاربر داده می شد تا عملی درجهت حفاظت از سیستم انجام دهد. این روش در اکثر مواقع از بروز خسارات و اتفاقات جلوگیری می کرد. با این وجود در این روش، خطاهای خیلی دیر تشخیص داده می شدند و خطاهای کوچک نیز از دید اپراتور مخفی می ماند و قابل تشخیص نبود.

در موارد حلقه بسته ، تغییرات ناخواسته در فرآیندها توسط عملیات کنترل مورد پوشش قرار می گیرد و از طریق خروجی قابل شناسایی نیستند بنابراین سیستم های فیدبک دار، تشخیص خطای فرآیند را به تأخیر می اندازند. مزیت بزرگ نظارت بر پایه مقدار محدود کلاسیک^{۱۱} ، سادگی و قابلیت اطمینان بودن آن است. [۱۵]

به هرحال این سطح آستانه، بعد از یک تغییر بزرگ یا خطای افزاینده طولانی قادر به عکس العمل هست. در واقع عیب یابی خطای معمولی غیرممکن است. بنابراین گزینه پیشرفته بند ۵ مورد نیاز است که شرایط زیر را تأمین کند:[۷]

- ✓ تشخیص سریع خطاهای کوچک با رفتار سریع تند زمانی
- ✓ عیب یابی خطاهای در اجزاء، محرک ها و سنسورها

^{۱۱} Classic Threshold

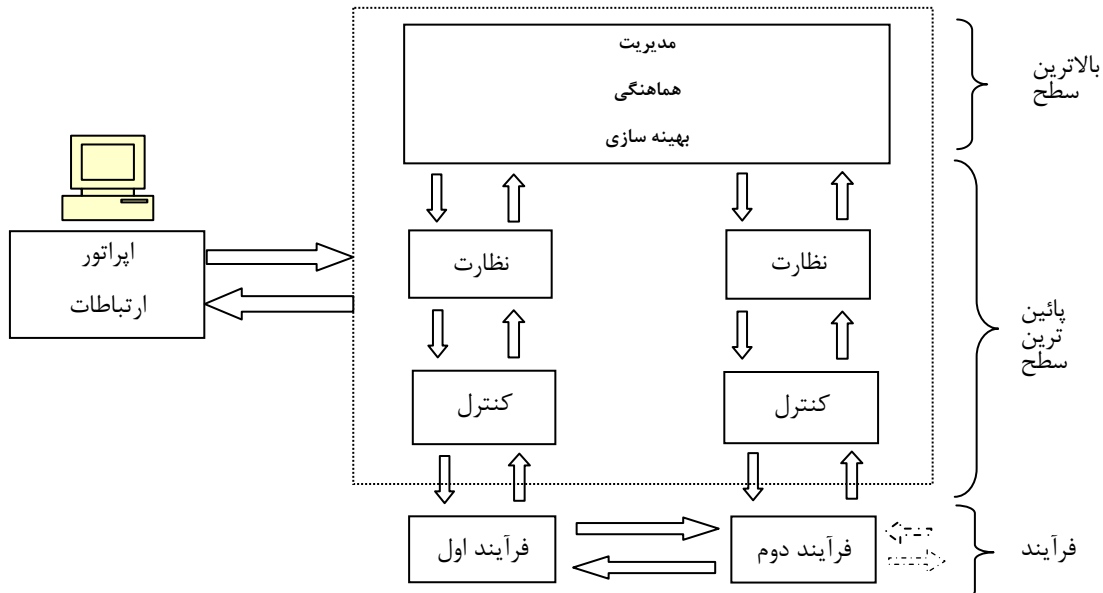
✓ تشخیص خطأ در حالت حلقه بسته

✓ نظارت بر فرآیند در حالتهای گذرا

هدف از تشخیص زود و سریع خطأ و عیب یابی آن ، این است که زمان کافی برای اقدام مانند: بازسازی ساختارهای کنترلی جهت حداقل نمودن اثر خطأ، محافظت و تعمیر وجود داشته باشد. تشخیص زود مخصوصاً به وسیله رابطه بین کمیت‌های قابل اندازه گیری در قالب مدل‌های ریاضی می‌تواند از طریق جمع آوری اطلاعات بیشتر بدست می‌آید.[۱۶]

۲.۲ - اتوماسیون یک فرآیند و نظارت بر آن:

شکل ۱-۲، یک طرح ساده از اتوماسیون فرآیند که از دو پروسه تزویج شده تشکیل شده است را نشان می‌دهد. پائین ترین سطح شامل کنترل‌های کلاسیک ، پسخورد و پیشخورد است. نظارت در سطح میانی معنا پیدا می‌کند. بالاترین سطح شامل عملیات‌های کلان از جمله مدیریت و بهینه سازی است. اطلاعات مهم فرآیند نیز در میز اپراتور نمایش داده می‌شود.[۱۵]



شکل ۲-۱ طرحی ساده از یک سیستم اتوماسیون

در گذشته پیشرفت و بهبود یک فرآیند در پائین ترین سطح آن (سطح فرآیند) انجام می شده است برای مثال کیفیت سنسور ها و محرك ها افزایش پیدا می کرد و یا روش های کنترلی جدیدی ابداع می شد، اما پیشرفت در سطح اپراتوری مستلزم آن بود که توابع نظارتی نیز پیشرفت کنند و بهبود یابند.^[۸] از طرف دیگر یکپارچگی سیستم های کنترلی نیز مزید بر این علت شد.^{[۶],[۸]}

سیستم های کنترلی زمانی می توانند امن و قابل اطمینان باشند که تمام اجزای فرآیند مانند سنسورها، محرك ها، محاسبه گر ها و اجزای خود سیستم به طور صحیح کار کنند.

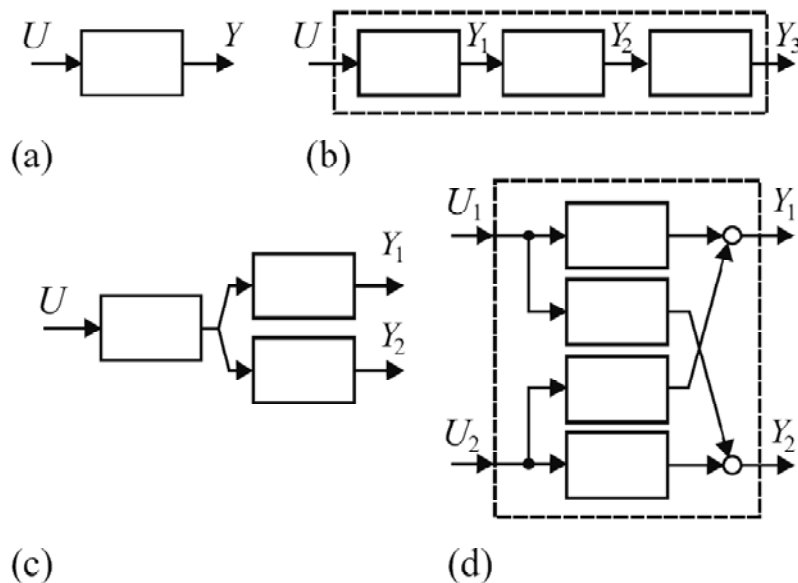
از طرف دیگر خطاهای سیستم باید به سرعت به اپراتور نشان داده شوند و در فرآیندهایی که خطا در آن با جان افراد ارتباط مستقیم دارد نیز ، باید قسمت های جایگزین و یا اجزای تجدید ساختار شده وارد عمل شوند و کنترل سیستم را بر عهده بگیرند. روش های تشخیص خطای مبتنی بر مدل ، برای اینکه بتوانند تغییرات احتمالی ناشی از خطا را استخراج کنند ، از رابطه های مربوط به چندین متغیر که در طول فرآیند اندازه گیری می شوند، استفاده می کنند. این روابط اکثراً از نوع تحلیلی هستند که از معادلات مدل فرآیند بدست می آیند . دقت شود که این روابط علاوه بر حالت تحلیلی و ریاضی می توانند از روابط علت و معلول نیز باشند برای مثال قوانین اگر - سپس^{۱۲}. [۱۷]

رابطه بین سیگنال ورودی U و سیگنال خروجی Y توسط مدل ریاضی فرآیند بیان می شود و با استفاده از روش های تشخیص خطای مختلفی که وجود دارد نیز خصوصیات برجسته یک فرآیند مانند: پارامترهای یک سیستم θ ، متغیرهای حالت X یا سیگنال باقی مانده I استخراج می گردند. بعد از بدست آوردن مقادیر سیستم و مقایسه آنها با مقادیر نامی آن و اعمال روش های تشخیص می توان سیگنال تصمیم گیری را تولید کرد. این سیگنال، در مراحل بعدی مانند عیب یابی خطا از سیگنال های کاربردی و

^{۱۲} If –then rules

مهم است. برای به کار گیری انواع روش های مختلف تشخیص خطا دانستن ساختار سیستم الزامی است.

به شکل ۲-۲ توجه کنید.[۱۷]



شکل ۲-۲ ساختارهای مختلف یک سیستم

همان طور که در شکل ۲-۲ نیز نشان داده شده است حالت (a) یک سیستم تک ورودی و تک خروجی، حالت (b) یک سیستم تک ورودی و تک خروجی با اندازه گیری های میانی است به این معنی که علاوه بر خروجی اصلی سیستم ، خروجی بلوک های میانی نیز به صورت یک سیگنال قابل اندازه گیری نیز در دسترس می باشد. حالت (c) سیستم تک ورودی و چند خروجی را نشان می دهد. ساختار (d) نیز نشان دهنده یک ساختار چند ورودی و چند خروجی است.

مدل های به کار رفته برای فرآیند ها می توانند زمان پیوسته و یا زمان گسسته باشند که مدل زمان پیوسته خود به معادلات خطی ، غیر خطی یا متغیر با زمان دسته بندی می شوند. از نکات دیگر در تشخیص خط، نحوه ظهور و حضور خط در مدل فرآیند است. به همین جهت آشنایی با مدل های مختلف خطها در بخش ۳.۲ معرفی می گردد.

۳.۲ - مدل های خطا:

انتخاب مدل مناسب برای خطا یکی از عوامل مؤثر در بررسی عملکرد سیستم تشخیص خطاست. درک فیزیکی از توصیف خطاها رخ داده در مدل واقعی یک فرآیند، بررسی اثرات خطا بر روی مدل ریاضی تعیین شده برای همان فرآیند و همچنین پیش بینی رفتار سیستم را آسان تر خواهد بود. البته این هدف با بررسی دقیق مدل فرآیند و با استفاده از یک فیلتر تشخیص خطای مناسب حاصل می گردد. [۱۸، ۱۹] برای بروز خطا در یک سیستم فیزیکی دلایل زیادی را می توان بیان نمود که مهمترین آنها عبارتند از:

- اشتباه در طراحی سیستم و یا طراحی در مونتاژ آن
- اشتباه در عملکرد اجزای سیستم و فقدان نگهداری مناسب از تجهیزات و قطعات موجود
- از کارافتادگی سیستم، خوردگی و زنگ زدگی، فرسودگی و سایش ناشی از عملکرد طبیعی اجزای یک سیستم که در ارتباط دائم با هم می باشند.

با توجه به نوع عملکرد خطا و رفتار خطا بعد از رخ دادن آن می توان آنها را به طرق مختلف دسته بندی نمود. [۱۹، ۱۸] یک خطا ممکن است به طور ناگهانی و در اندازه های کوچک و بزرگ در یک سیستم رخ دهد و یا همچنین به طور افزایش تدریجی مانند شیب در سیستم بروز کند. به جهت سهولت در بررسی خطاها و رفتار آنها در یک چهارچوب معین می توان خطاها را به دسته های شناخته شده زیر دسته بندی نمود.

۴.۲ - مدل های پایه ای خطا:

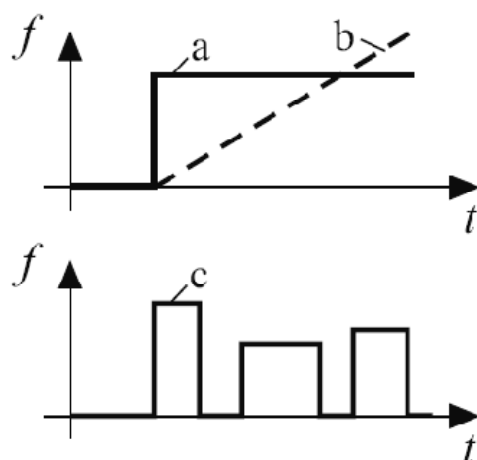
همان طور که در فصل اول بیان شده خطای تغییر ناخواسته در رفتار طبیعی سیستم و یا حداقل در یکی از خصوصیات های (متغیرهای) فرآیند است. این خصوصیت می‌تواند یکی از کمیت‌های فیزیکی موجود در فرآیند باشد. اگر کمیت مورد نظر جزئی از یک قانون مانند: $Y(t)=g[U(t),x(t),\theta]$ در نظر گرفته شود، آنگاه سیگنال‌های $U(t), Y(t)$ از جمله سیگنال‌هایی هستند که برای تجربه قابل اندازه‌گیری و استفاده می‌باشند. [۸]

مهمترین خصوصیت این سیگنال‌ها در دسترس بودن آنهاست که بعد از رخدادن اتفاق ناخواسته اثر خود را به نوعی در سیگنال متغیر ورودی $U(t)$ ، سیگنال خروجی $Y(t)$ ، متغیرهای حالت $x_i(t)$ (توابع وابسته به زمان) یا پارامتر θ (معمولًاً مقادیر ثابت) نشان می‌دهد. بنابراین خطای تغییر در یک پارامتر یا سیگنال ظهور می‌کند. وابستگی زمانی انواع خطاهای در ادامه نشان داده شده است. به شکل ۳-۲ توجه کنید:

- خطای ناگهانی (پله) حالت (a)

- خطای افزاینده (شیب) حالت (b)

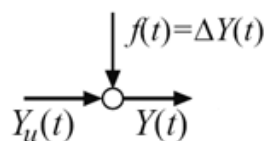
- خطای متناوب (c)



شکل ۳-۲ رفتار خطای تغییر به زمان

با توجه به دیاگرام جریان سیگنال متناظر با خطای نشان داده شده در شکل ۳-۳، خطای رخ داده از نوع جمعی است زیرا سیگنال حاصل ناشی از جمع سیگنال خطای سیگنال اصلی است:

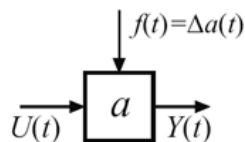
$$Y(t) = Y_u(t) + f(t) \quad (2-1)$$



شکل ۲-۴ خطای جمع شونده

و تغییر پارامتر زیر از نوع ضربی است زیرا خطای در سیگنال ورودی ضرب می شود و آنگاه در خروجی ظاهر می گردد:

$$Y(t) = (a + \Delta a(t))U(t) = au(t) + \Delta a(t)U(t) = Y_u(t) + f(t)U(t) \quad (2-2)$$



شکل ۲-۵ خطای ضرب شونده

این بدین معنی است که اگر سیگنال $Y(t)$ قابل اندازه گیری باشد خطای جمع شونده به ازای هر $Y_u(t)$ قابل مشاهده است اما خطای ضرب شونده در صورتی قابل تشخیص است که سیگنال $U(t) \neq 0$ باشد و همچنین از طرفی تغییرات $\Delta Y(t)$ وابسته به اندازه $U(t)$ است. [۱۹]

۵.۲ - نمونه هایی از مدل های خطای

أنواع خطایها و نحوه مدل کردن آن وابسته به مفاهیم اولیه در سیستم های واقعی است به همین دلیل چند خطای مهم در سیستم های عملی در ادامه مورد توجه قرار می گیرد.

۱.۵.۲ - خطای سنسوری:

سنسورها و سیستم های اندازه گیری المان های دینامیکی هستند که توسط آنها متغیرهای خروجی $Y(t)$ اندازه گیری می شوند. بدون وجود تجهیزات کالیبراسیون، تشخیص صحت عملکرد یک سنسور سخت می باشد. اگر خروجی واقعی یک سنسور را Y_0 در نظر گرفته شود، آنگاه رفتار استاتیکی یک سنسور

ممکن است خطی باشد: [۱۹]

$$Y(t) = C_0 + C_1 Y_0(t) \quad (3-2)$$

یا غیر خطی:

$$Y(t) = C_0 + C_1 Y_0 + C_2 Y_0^2(t) + \dots \quad (4-2)$$

رفتار دینامیکی یک سنسور برای تغییرات کوچک همیشگی را می توان به طور تقریبی با مدل خطی تقریب زد و توسط تابع تبدیل زیر را نشان داد.

$$G_s(s) = \frac{\Delta Y(s)}{\Delta U(s)} = \frac{Y(s)}{U(s)} = \frac{B_s(s)}{A_s(s)} \quad (5-2)$$

و در موارد ساده با یک lag مرتبه اول نیز قابل بیان است:

$$G_s(s) = \frac{K_s}{1+T_1 s} \quad (6-2)$$

با بهره:

$$K_s = C_1 + 2C_2 \quad (7-2)$$

خروجی یک سنسور معمولاً تحت تأثیر انواع اغتشاشات داخلی و خارجی است. اغتشاشات خارجی توسط محیط اطراف سنسور به وجود می آید مانند: اثرات مغناطیسی. اغتشاشات داخلی توسط خود

سنسور ایجاد می شود. این گونه اغتشاشات بر اثر تغییر در منبع تغذیه، مقاومت ها، خازن ها، سلف ها یا اصطکاک به وجود می آید و در نهایت رفتار دینامیکی سنسور تغییر می کند شکل ۶-۲ [۱۵] خلاصه ای از انواع اغتشاشات داخلی و خارجی یک سنسور را نشان می دهد. البته این تغییرات خطی بیان شده اند.

[۱۳] به طور کلی ۵ دسته عمده خطاهای برای یک سنسور را می توان به شرح زیر بیان می کرد:

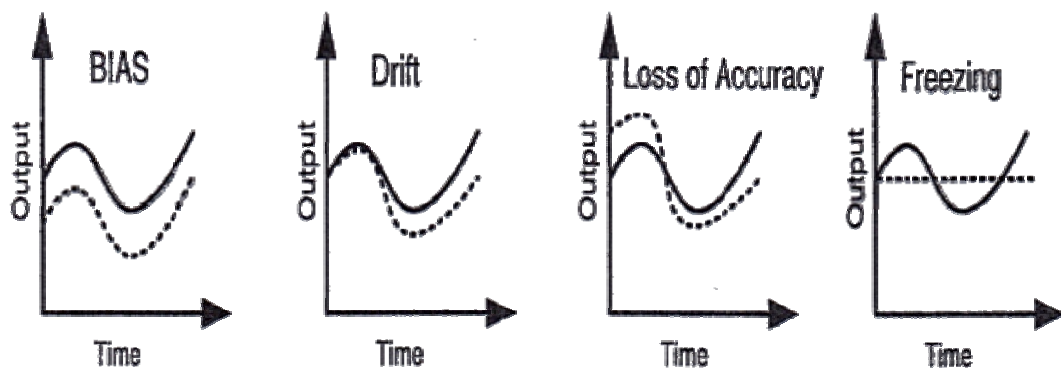
✓ آفست ثابت Y

✓ تغییرات بهره K_s

✓ خاصیت هیسترزیس

✓ از دست دادن دقیق اندازه گیری

✓ ثابت شدن روی یک مقدار ثابت



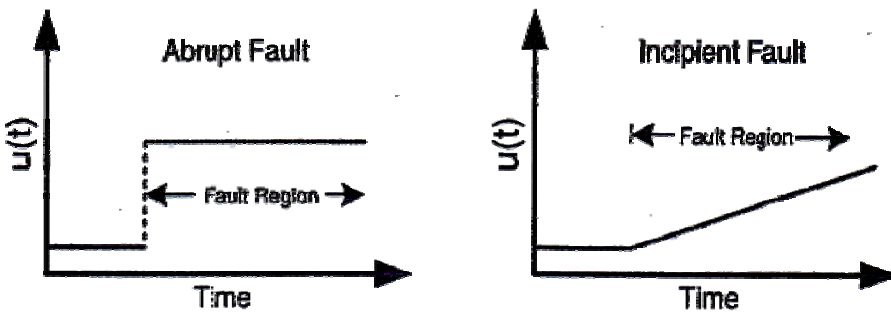
شکل ۶-۲ انواع خطاهای سنسوری

۲.۵.۲ - خطای محرک:

محرک ها آخرین جزء یک عملکرد کنترلی هستند که نقش مهمی را در تکمیل یک فرآیند کنترلی ایفا می کنند زیرا محرکها باید توان لازم برای ساخت و ایجاد متغیر کنترلی مورد نظر را تأمین

نمایند.^[۱] [۸] اگر سیستمی شامل یک کنترل کننده قوی بوده ولی از نظر محرک دارای ضعف باشد به طوری که نتواند سیگنال کنترلی تولید شده را به فرآیند انتقال دهد در مجموع عملکرد سیستم ضعیف ارزیابی می گردد.^[۱]

اکثر محرک ها در سیستم های نوین ، سیستم های قدرتی هیدرولیکی یا پنوماتیکی هستند. با توجه به قابلیت انتقال توان بسیار بالا در این گروه از محرک ها، این دسته از محرک ها ذاتاً حجمی و بزرگ می باشند و وزن و اندازه زیاد این قطعات محدودیت هایی را برای استفاده از آنها در حالت ذخیره^{۱۳} ایجاد می کند. به همین جهت ، تمرکز بر روی خطاهای محرک ها امروزه بیشتر مورد توجه قرار گرفته است. شکل ۷-۲ بعضی خطاهای احتمالی برای محرک ها را نشان می دهد و در ادامه نمایش ریاضی این خطاهای آورده شده است.



شکل ۷-۲ خطاهای محرک ها^[۱۳]

- خطای ناگهانی: این خطا که به خطای سخت نیز معروف است تأثیری بزرگ در عملکرد سیستم دارد. این نوع خطاهای ممکن است بر اثر اتصال کوتاه در قسمت الکتریکی یا صدمه ناگهانی به سخت افزار محرک وجود آیند. برای بیان ریاضی این دسته از خطاهای می توان به مدل سازی زیر اشاره نمود.

¹³ Redundant

$$U_F(t) = U(t) - \varepsilon U(t_F) \quad (8-2)$$

به طوری که :

$$\forall t > t_F \quad \varepsilon \in [-1,1]$$

بنابر این اگر $\varepsilon \in [0,1]$ باشد کاربر با کاهش انرژی سیگنال کنترلی روبه رو است و در صورت $\varepsilon \in [-1,0]$ دستور ناخواسته اضافی به حلقه کنترلی اعمال می شود.

- خطای افزاینده: این خطأ به خطای نرم مشهور است و در دراز مدت اثر خود را نشان می دهد. وجود نشتی در یک سیستم هیدرولیک و یا پنوماتیک نمونه خوبی برای این دسته از خطاهای می باشد. تشخیص این نوع از خطاهای به علت دامنه کوچک آن سخت است و برای بیان آنها داریم:

$$U_F(t) = U(t) + S U(t_F) \quad (9-2)$$

به طوری که :

$$S = \frac{U(t_F)}{t_F} \quad \forall t > t_F$$

۳.۵.۲ - خطای اجزای سیستمی^{۱۴} :

این دسته از خطاهای به طور عمده باعث تغییر در درایه های ماتریس فضای حالت سیستم یا ضرایب معادله دینامیکی سیستم می گردند و با توجه به اغتشاش ذاتی سیستم های فیزیکی تشخیص این نوع خطاهای در سیستم های بزرگ بسیار سخت است.^[۸]

¹⁴ Component Fault

۶.۲ - تشخیص خطا^{۱۵} و عیب یابی خطا^{۱۶}:

برای تشخیص خطا و عیب یابی سیستم های دینامیکی در حالت کلی دو رویکرد عمدۀ وجود دارد:
استفاده از نشانه های تحلیلی و استفاده از نشانه های ابتکاری و ابداعی^{۱۷} (انسانی) که در ادامه هر یک به طور مختصر توضیح داده می شوند:[۶]

۱.۶.۲- تولید نشان های تحلیلی^{۱۸}

دانستنی های تحلیلی یک فرآیند، برای تولید اطلاعاتی به کار بردۀ می شوند که قابل سنجش باشند به این معنی که بتوان آنها را اندازه گیری نمود و با مقادیر مشخص دلخواهی مقایسه کرد. رسیدن به این هدف نیازمند پردازش داده ها بر اساس متغیر های اندازه گیری شده در فرآیند است تا سیگنال تصمیم گیری مطابق با مراحل زیر تولید گردد:[۱۳]

- چک کردن میزان سیگنال های اندازه گیری شده به طور مستقیم (مقادیر اندازه گیری شده، فراتر از حد قابل قبول سیگنال است یا خیر).
- آنالیز سیگنال های اندازه گیری شده به طور مستقیم به وسیله استفاده از مدل های سیگنال، مانند توابع همبستگی ، طیف فرکانسی ، حرکت میانگینی واپس گرا یا مفاهیم ریاضی مانند(واریانس ، دامنه ها، فرکانس ها یا پارامترهای مدل)
- آنالیز فرآیند بوسیله فرآیند های ریاضی با استفاده از تخمین پارامترها ، تخمین حالت و معادلات توازن ، مقادیر نوعی پارامترها ، متغیرهای حالت و یا باقی مانده ها

¹⁵ Fault detection

¹⁶ Fault diagnosis

¹⁷ Heuristic

¹⁸ Analytical

۲.۶.۲- تولید نشانه های ابتکاری^{۱۹}(انسانی)

علاوه بر اطلاعات قابل اندازه گیری برای تولید نشانه های تحلیلی، نشانه های ابتکاری (انسانی) نیز قابل تولید هستند، که به صورت اطلاعات کیفی از اپراتورها به دست می آیند. به وسیله مشاهده و دریافت اطلاعات محیطی، مقادیر نوعی انسانی در قالب رنگ، بو، غلظت ، ارتعاشات ، فرسودگی ، از هم گسیختگی و غیره بدست می آیند.^[۸]

تاریخچه یک فرآیند که شامل اطلاعات مهم مانند روند نگهداری سیستم، تعمیرات آن ، انواع خطاهای پیشین رخ داده در سیستم ، دوره عمر دستگاه های موجود در سیستم ، منابع بیشتر اطلاعات انسانی را در اختیار طراح قرار می دهنند. به موارد فوق می توان اطلاعات استاتیکی که از طریق تجربه با همین روش ها یا روش های مشابه به دست آمده اند را نیز اضافه کرد. به این طریق نشانه های ابداعی تولید شده در فوق را می توان با استفاده از متغیرهای زبانی مانند توصیفات کوچک ، متوسط و بزرگ یا اعداد دارای مفهوم مشخص برای کاربر ، به کار برد.^[۴]

۷.۲ - عیب یابی خطأ^{۲۰}

مراحل عیب یابی خطأ شامل تعیین نوع خطأ، اندازه و مکان خطأ و همچنین زمان روی دادن خطأ است که بر پایه رویتگرهای تحلیلی یا نشانه های ابتکاری (انسانی) می توان به این هدف دست یافت. اگر اطلاعات بیشتری در مورد خطأ و علل پیدایش آن مورد نظر باشد می توان از روش هایی مانند طبقه بندی آماری و هندسی یا شبکه های عصبی و خوشه های فازی استفاده نمود. همچنین اگر آگاهی قبلی از علیت نشانه های خطأ در دسترس باشد، می توان سیستم تشخیص خطأ را در قالب شبکه های علیت ،

¹⁹ Heuristic

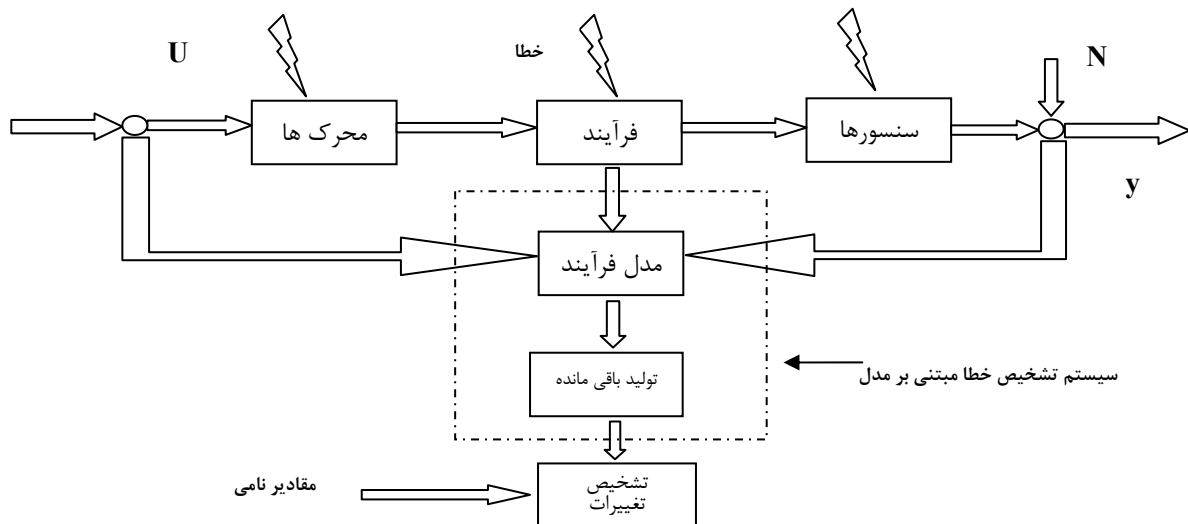
²⁰ Fault diagnosis

استراتژی استدلال خطایاب^{۲۱} به کار برد. سلسله پیشرو و پسرو^{۲۲} با الگوریتم بولین برای اتفاقات باینری با استدلال تقریبی برای اتفاقات احتمالی نیز به کار برد. در نهایت تصمیم سیستم عیب یابی خطای نشان دهنده نوع، اندازه و مکان خطاهای محتمل تر و همچنین زمان دقیق تشخیص است. [۶] ، [۱۵]

۸.۲ - روش‌های تشخیص خطایاب مبتنی بر مدل

روش‌های مختلف تشخیص خطایاب با استفاده از مدل‌های ریاضی در طول ۳۰ سال گذشته رشد چشمگیری کرده‌اند. در این قسمت روش‌های پایه به طور مختصر توضیح داده می‌شوند. این عمل شامل تشخیص خطاهای در اجزای سیستم، محرک‌ها و سنسورها است. در تمامی این روش‌ها، اطلاعات مورد نظر با اتکا به سیگنالهای مختلف قابل اندازه‌گیری از مدل ریاضی فرآیند بدست می‌آیند. شکل ۲-۸

ساختار پایه سیستم تشخیص خطایاب اساساً مدل ریاضی را نشان می‌دهد. از مهمترین روش‌هایی که برای تشخیص خطایاب کار می‌رود می‌توان به تشخیص خطایاب با استفاده از شناسایی سیستم، رویتگر حالت و معادلات توازن اشاره کرد.



شکل ۲-۸ ساختار پایه ای تشخیص خطایاب

²¹ Diagnostic reasoning strategies

²² Forward and backward chaining

۹.۲ - تشخیص خطا با استفاده از روش های شناسایی فرآیند:

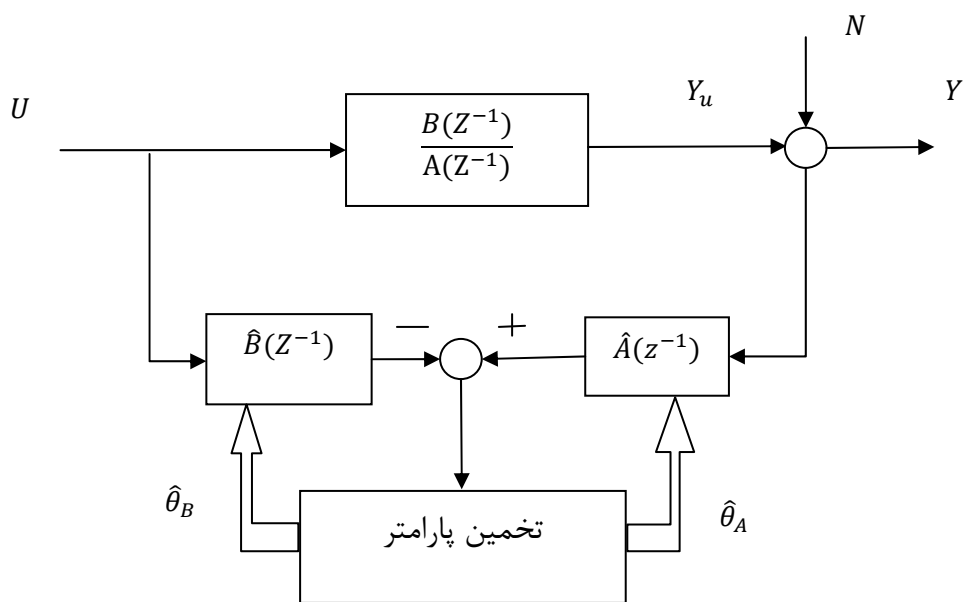
همان طور که توضیح داده شد مدل ریاضی فرآیند رابطه بین ورودی و خروجی فرآیند را بیان می کند و از نیازهای اساسی و بنیادین برای طراحی در سیستم های تشخیص خطاست. مدل ریاضی بعضی فرآیندها اصلاً شناخته شده نیستند یا تعدادی از پارامترهای آن نامعلوم می باشند. اما از آنجاییکه در سیستم تشخیص خطا مدل فرآیند باید به طور دقیق مشخص باشد تا بتوان در صورت رخدادن خطا آن را شنايائی نمود بنابراین باید روش های شناسایی فرآیند قبل از اعمال هرگونه سیستم تشخیص خطا به صورت متوالی در سیستم به کار گرفته شوند.^[۱۸]

این بدین معنی است که ابتدا باید سیستم شناسایی پارامترها وارد عمل شده و پارامترها را به طور کامل مشخص نماید و سپس سیستم تشخیص خطا وارد کار گردد در غیر این صورت به علت عدم شناسایی کامل فرآیند، سیستم تشخیص خطا وجود خطا در سیستم را اعلام می دارد. از طرف دیگر پارامترهایی که تحت تأثیر خطاهای ممکن است تغییر کنند در روش های شناسایی به تنها ی می توانند منبع بسیار مفید برای بدست آوردن اطلاعات مهم در مورد مدل فرآیند باشند.

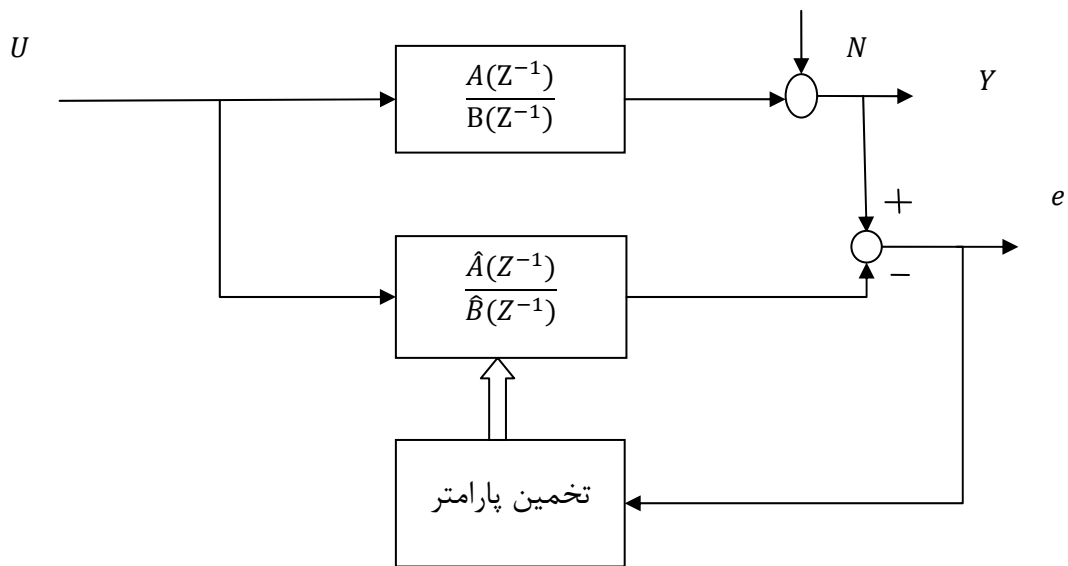
از پرکاربردترین و مشهورترین روش شناسایی می توان به روش کمترین مربعات خطا^{۲۳} یا کمترین مربعات بازگشتی^{۲۴} آن اشاره کرد. این روش ها با دو ساختار مختلف قابل پیاده سازی هستند که در شکل های زیر بلوك دیاگرام این دو ساختار را می توان دید. ساختار اول که در شکل ۹-۲ نشان داده شده است را معادلات خطا و ساختار دوم در شکل ۱۰-۲ را خطای خروجی می نامند.^{[۱۸] ، [۱۹]}

²³ Least squares error

²⁴ Recursive least square



شکل ۹-۲ ساختار معادلات خطی



شکل ۱۰-۲ ساختار خطای خروجی

به طور کلی پارامترهای فرآیند θ ، که در معادلات جبری غیر خطی به صورت ضرایب نشان داده می شوند به ضرایب فیزیکی فرآیند p وابسته هستند (مانند: استحکام ، ضربی میرایی ، مقاومت). اگر معکوس این رابطه وجود داشته باشد می توان تغییرات Δp (ضرایب فرآیند) را محاسبه نمود. این تغییرات در ضرایب فرآیند در بیشتر موارد مستقیماً مربوط به خطاهای می باشند. بنابراین اطلاعات Δp_i عیب یابی خطای آسان نموده و با توجه به این که کدام ضربی فرآیند تغییر کرده است می توان محل بروز خطای را حدس زد. [۱۳] ، [۱۵] ، [۱۹]

۱۰.۲ - تشخیص خطای استفاده از رویتگر حالت و تخمین زن حالت:

از آنجائیکه رویتگر های حالت، از خطای خروجی متغیرهای اندازه گیری شده فرآیند و فرآیند مدل شده ، برای سیستم تشخیص خطای استفاده می کنند از محبوب ترین روش های تشخیص خطای بر پایه مدل ریاضی می باشند. [۲۰] در این روش فرض بر این است که ساختار و پارامترهای فرآیند به طور دقیق شناخته شده هستند. [۱۹] رویتگرهای حالت ، متغیرهای حالتی را که باید مورد بررسی قرار گیرند با توجه به دو فاکتور مهم ، که اولین آن وضعیت اولیه (مقدار اولیه) متغیرها و دومی دوره زمانی اندازه گیری سیگنالها است را در روند طراحی در نظر می گیرند. رویکردهای مختلفی برای تشخیص خطای با این روش پیشنهاد شده است که اکثر آنها بر پایه رویتگرهای کلاسیک لانبرگر، فیلتر کالمون و یا رویتگر خروجی استوار هستند. [۲۱] ، [۲۲]

۱۱.۲ - رویتگرهای حالت:

یک فرآیند خطی و تغییر ناپذیر با زمان را می‌توان توسط معادلات فضای حالت زیر بیان کرد:

$$\dot{x} = Ax(t) + Bu(t) \quad (10-2)$$

$$y(t) = Cx(t) \quad (11-2)$$

هدف اصلی استفاده از رویتگرهای حالت، بازسازی متغیرهای حالتی است که غیر قابل اندازه گیری هستند. اساس کار این روش، استفاده از سیگنالهای ورودی و خروجی سیستم می‌باشد که به طور مستقیم قابل اندازه گیری هستند. \hat{X} متغیر حالتی است که توسط رویتگر تخمین زده می‌شود. معادله شماره (۱۲-۲) رفتار خطای در این حالت نشان می‌دهد که با گذشت زمان به طور نمایی به سمت صفر میل می‌کند:

$$\hat{x}(t) = A\hat{x}(t) + Bu(t) + He(t) \quad (12-2)$$

$$e(t) = y(t) - C\hat{x}(t) \quad (13-2)$$

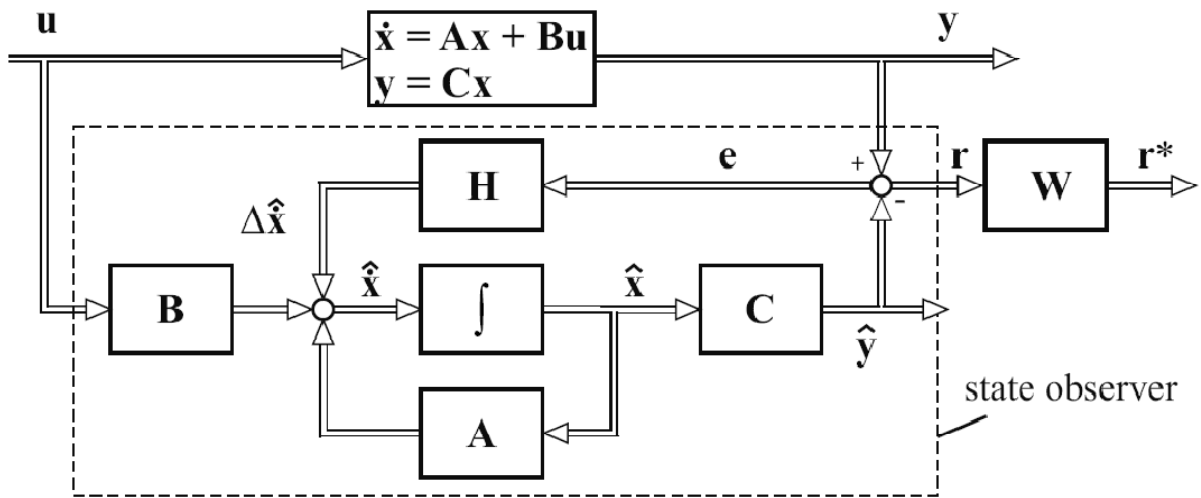
$$\tilde{x} = x - \hat{x} \quad (14-2)$$

$$\dot{\tilde{x}} = [A - HC]\tilde{x}(t) \quad (15-2)$$

$$\lim_{t \rightarrow \infty} \tilde{x}(t) = 0$$

این روش‌های تشخیص خطای طور عمدی نیازمند سیگنال‌های خروجی قابل اندازه گیری و استفاده از تحلیل داخلی چندگانه سیستم‌های چند متغیره هستند. در سال‌های اخیر ارتقاء مقاوم بودن سیستم

^{۲۵} های تشخیص خطأ با توجه به تغییرات پارامترها منجر به ارائه روشی به نام سیگنال های ورودی نامعلوم شده است. برای مثال با فیلتر کردن خطای خروجی رویتگر به صورت $r(t) = We(t)$ به اضافه طراحی مخصوص برای فیدبک H ، این هدف قابل دستیابی است. شکل ۱۱-۲ شما کلی این سیستم را نشان می دهد. [۲۲] ، [۲۳]



شکل ۱۱-۲ سیستم تشخیص خطأ

همان طور که در شکل ۱۱-۲ دیده می شود علاوه بر عملکرد فرآیند اصلی، رویتگر به طور موازی با آن، متغیرهای مورد نیاز را تخمین زده و با خروجی اصلی سیستم مقایسه می نماید.

۱.۱۱.۲ - خطای جمع شونده:

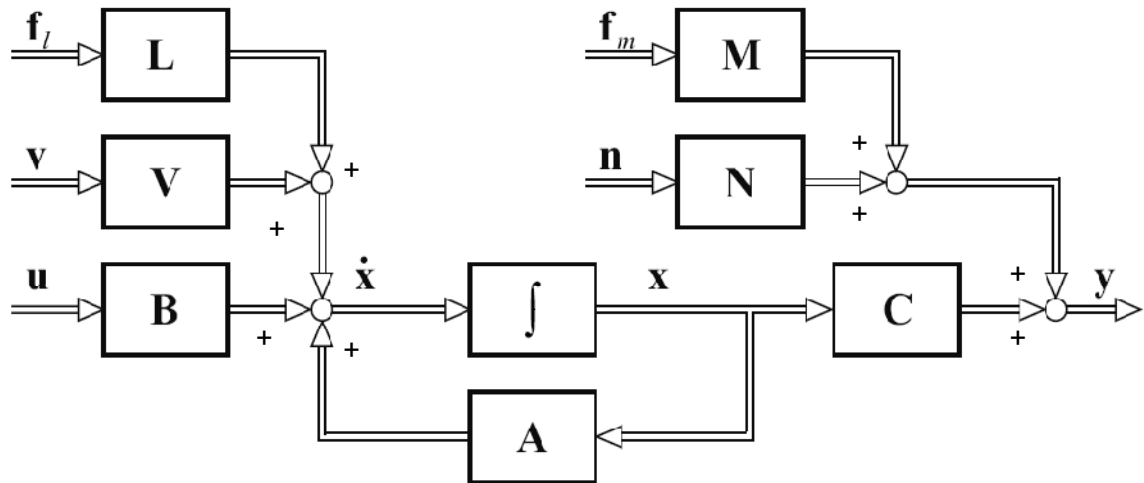
حال فرض کنید سیستم بیان شده با معادلات (۱۰-۲) تحت تأثیر سیگنالهای غیر قابل اندازه گیری قرار گیرد، آنگاه معادلات به فرم زیر خواهند بود:

$$\dot{x}(t) = Ax(t) + Bu(t) + Fv(t) + Lf_L(t) \quad (16-2)$$

²⁵ Unknown inputs

$$y(t) = Cx(t) + Nn(t) + Mf_M(t) \quad (17-2)$$

که M و L ماتریس های ورود خطا به سیستم هستند و بلوک دیاگرام آن را می توان در شکل ۱۲-۲ مشاهده کرد. [18] ، [13].



شکل ۱۲-۲ سیستم با خطای جمع شونده

۱۱.۲ - خطای ضرب شونده:

در این حالت خطا به صورت تغییر در پارامترهای ماتریسهای مانند: $\Delta A, \Delta B, \Delta C$ ظاهر می شوند و معادلات را می توان به فرم زیر نوشت:

$$\dot{x}(t) = [A + \Delta A]x(t) + [B + \Delta B]u(t) \quad (18-2)$$

$$y(t) = [C + \Delta C]x(t)$$

حالات ها و خطای خروجی بدون اغتشاش برابر است با:

$$\dot{\tilde{x}} = [A - HC]\tilde{x}(t) + [\Delta A - H\Delta C]x(t) + \Delta Bu(t) \quad (19-2)$$

$$e(t) = y - C\hat{x} = [C + \Delta C]x - C\hat{X} = C\tilde{x}(t) + \Delta Cx(t) \quad (20-2)$$

بنابراین، حالت‌ها و خطای خروجی به صورت ضربی با ورودی $U(t)$ و متغیرهای حالت $X(t)$ وابسته هستند. به همین جهت آنالیز و تحلیل رفتار سیگنال خطای در این گروه به آسانی و سر راستی خطای جمع شونده نیست.^{[۱۸] ، [۱۳]}

۱۲.۲ - رویتگرهای خروجی:

روش‌های کلاسیک رویتگر حالت برای تخمین متغیرهای حالت به کار می‌رود. به هر حال اگر دقیقاً خطای در متغیرهای حالت مورد نیاز کاربر نباشد، می‌توان از رویتگرهای خروجی یا رویتگرهای تابعی برای تشخیص خطای استفاده کرد. اگر معادلات حاکم بر سیستم را به صورت معادلات (۲۱-۲) و (۲۲-۲) در نظر بگیرید:

$$\dot{x}(t) = Ax(t) + Bu(t) + Vv(t) + Lf(t) \quad (21-2)$$

$$y(t) = Cx(t) + Mf(t) \quad (22-2)$$

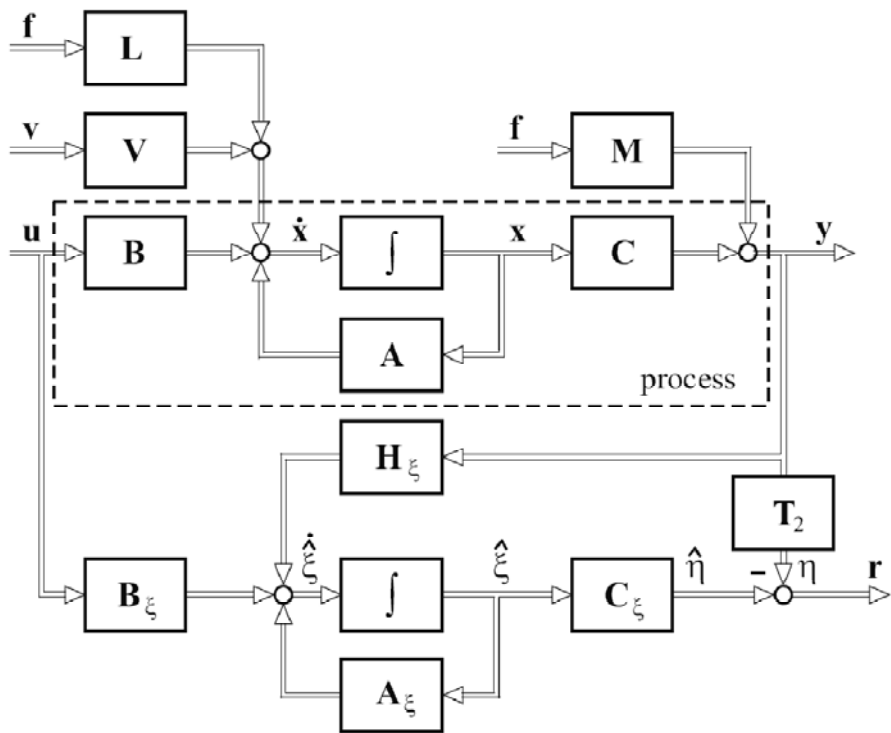
هدف اصلی، تولید باقی مانده‌ای است که مستقل از ورودی‌های ناشناخته $v(t)$ باشد. برای رسیدن به این هدف از یک انتقال خطی به صورت معادله (۲۳-۲) استفاده می‌شود:

$$\zeta(t) = T_1 x(t) \quad (23-2)$$

با این ترتیب متغیرهای جدید (t) ساخته می‌شوند. خروجی رویتگر مورد نظر (t) است بنابراین هیچ ارتباط مستقیمی بین خروجی $y(t)$ فرآیند و خروجی خطای وجود ندارد و می‌توان نوشت:

$$\eta(t) = T_2 y(t) \quad (24-2)$$

بلوک دیاگرام عملکرد رویتگرهای خروجی در شکل ۱۳-۲ نشان داده شده است.^[۱۸]



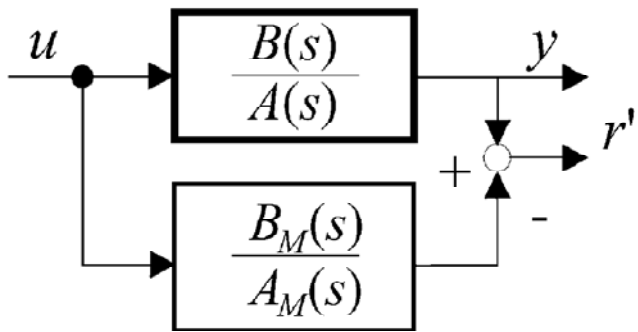
شکل ۲-۱۳ سیستم رویتگر خروجی

۱۳.۲ - تشخیص خطای خروجی با استفاده از معادلات توازن:

یکی از سر راست ترین روش های مبتنی بر مدل ریاضی در سیستم های تشخیص خطای خروجی مقایسه سیستم اصلی و سیستم مدل شده به صورت ریاضی است. نحوه بررسی به این صورت است که یک مدل ثابت G_M موازی با فرآیند G_P به طور همزمان اجرا می شود و تفاضل رفتاری این دو سیستم ، مطابق با روند نشان داده شده در شکل ۲-۱۴ خطای خروجی را تولید می کند:

$$\hat{r}(s) = [G_P(s) - G_M(s)]u(s) \quad (25-2)$$

همان طور که در معادله (۲۵-۲) دیده می شود در صورت بروز هرگونه اتفاقی که موجب عدم همانگی مدل فیزیکی و مدل ریاضی آن گردد خروجی باقی مانده از مقدار صفر خارج شده و این عدم هماهنگی را اعلام می کند. عملکرد کلی این سیستم در شکل ۲-۱۴ نشان داده شده است.



شکل ۱۴-۲ عملکرد کلی روش معادلات توازن

فرض کنید که مدل اصلی سیستم فیزیکی را بتوان توسطتابع تبدیلی به فرم معادله (۲۶-۲) بیان کرد:

$$G_p(s) = \frac{y_p(s)}{u(s)} = \frac{B_p(s)}{A_p(s)} \quad (26-2)$$

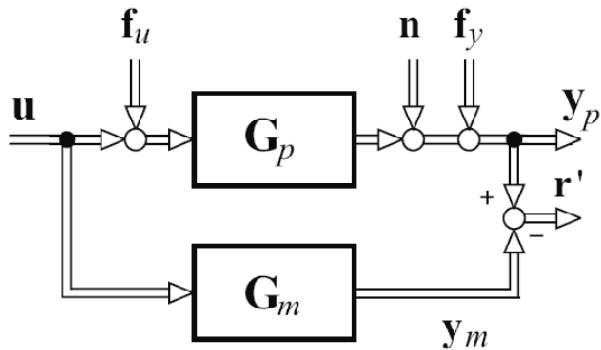
اگر سیستم مدل شده ریاضی آن را به صورت معادله (۲۷-۲) در نظر گرفته شود:

$$G_m(s) = \frac{y_m(s)}{u(s)} = \frac{B_m(s)}{A_m(s)} \quad (27-2)$$

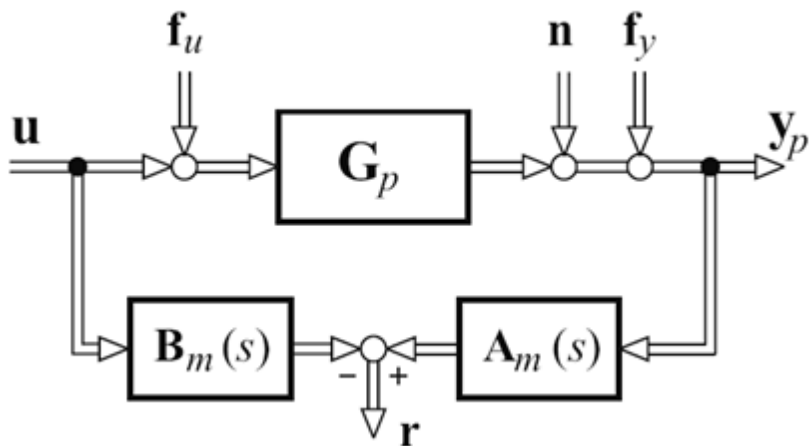
به طوری که پارامترهای آن به طور کامل شناخته شده و دارای مقدار ثابتی باشند:

$$G_{p(s)} = G_m(s) + \Delta G_m(s) \quad (28-2)$$

به طوری که $\Delta G_m(s)$ خطاهای مدل کردن را نشان می دهد. مشابه با حالت تخمین پارامتر در این مقوله نیز می توان به دو صورت باقی مانده را محاسبه نمود. حالت اول آن خطای خروجی و حالت دوم آن خطای چند جمله ای است. نحوه عملکرد و ساختار هر یک در شکل ۱۵-۲ و ۱۶-۲ نشان داده شده است. [۲۴].



شکل ۱۵-۲ ساختار خطای خروجی



شکل ۱۶-۲ ساختار خطای چند جمله‌ای

با توجه به ساختار نشان داده شده در شکل ۱۶-۲ سیگنال باقی مانده را می‌توان با معادله (۲۹-۲)

بیان نمود:

$$r(s) = A_M(s)y(s) - B_M(s)u(s) =$$

$$A_M(s)[G_{p(s)}[u(s) + f_u(s)] + n(s) + f_y(s)] - B_M(s)u(s) \quad (29-2)$$

اگر مدل ریاضی و مدل فیزیکی کاملاً بر هم منطبق باشند آنگاه سیگنال باقی مانده برابر با معادله (۳۰-۲)

خواهد بود:

$$r(s) = A_M(s)[n(s) + f_y(s)] + B_m(s)f_u(s) \quad (30-2)$$

همان طور که از معادله (۳۰-۲) دیده می شود، خطای جمع شونده در ورودی توسط چند جمله ای $B_m(s)$ مدل فیلتر می شود و همچنین خطای جمع شونده در خروجی نیز از فیلتر $A_M(s)$ عبور می کند و می تواند با عث افزایش درجه مشتق چند جمله ای گردد.

در این روش برای فرآیند های SISO فقط یک باقی مانده می توان تولید نمود و بنابر این تمایز بین خطاهای آسان نیست. آزادی بیشتر در طراحی معادلات توازن زمانی بدست می آید که برای فرآیند های SISO یا برای فرآیند های MIMO برای مدل زمان پیوسته سیگنال های میانی نیز قابل اندازه گیری باشند. [۲۴]

از این روش برای بررسی صحت مدل سازی فرآیند نیز استفاده می شود ، طراحی در این روش هم می تواند براساس معادلات حالت و هم براساس توابع تبدیل سیستم صورت بگیرد.

فصل سوم

طراحی فیلتر H_2/H_∞ جهت تشخیص خطای مقاوم

۱.۳ - مقدمه:

در این فصل روند طراحی فیلتر تشخیص خطای مقاوم به روش بهینه سازی H_2/H_∞ بیان می شود. ابتدا مفاهیم و نمادها استفاده شده در بخش طراحی معرفی و بیان می گردند و سپس مدل و مسئله طراحی فیلتر تشخیص خطای مقاوم بیان می شود و در قسمت های بعدی راه حل بهینه و تحلیلی H_2/H_∞ مورد بررسی قرار می گیرد.

۱.۱.۲ - ماتریس انتقال: اگر تحقق فضای حالتتابع تبدیل $G(s)$ به فرم زیر بیان گردد:

$$G(s) = \begin{bmatrix} A & B \\ C & D \end{bmatrix} \quad (1-3)$$

به طوری که آنگاه اگر مقدار D مخالف صفر باشد برای معکوس آن داریم:

$$G^{-1} = \begin{bmatrix} A - BD^{-1}C & -BD^{-1} \\ D^{-1}C & D^{-1} \end{bmatrix} \quad (2-3)$$

و $\tilde{G}(s) := G^T(-s)$ در نظر می گیریم.^[۱۶]

۲.۱.۳ - نرم ها^{۲۶} در حالت پیوسته:

برای تابع تبدیل $G \in RH_2$ نرم دوم G ، به صورت زیر تعریف می گردد:

$$\|G\|_2 = \sqrt{\frac{1}{2\pi} \int_{-\infty}^{\infty} \text{Trace}\{\tilde{G}(jw)G(jw)\}} \quad (3-3)$$

و برای $G \in RH_\infty$ ، نرم بینهایت به صورت زیر تعریف می شود:

²⁶ Norm

$$\|G\|_\infty = \sup \bar{\sigma}(G(jw)) \quad (4-3)$$

و همچنین H_- نیز برای G در همه فرکانس ها به صورت زیر تعریف می گردد:

$$\|G\|_- = \inf \underline{\sigma}(G(j\omega)) \quad (5-3)$$

فرض کنید Q , A و R ماتریس های حقیقی با ابعاد $n \times n$ به قسمی که Q و R ماتریس های متقارن

می باشند، آنگاه معادله جبری ریکاتی در حالت پیوسته به فرم زیر خواهد بود:

$$A'X + XA + XRX + Q = 0 \quad (6-3)$$

ماتریس متقارن X جواب این معادله خواهد بود به شرط آنکه یک جواب پایدار برای $A+RX$ باشد.

۳.۱.۳ فاکتور اول چپ:^{۲۷} [۲۰، ۱۶]

فرض کنید $P(s)$ تحقق ماتریس انتقال سره یک فضای حالت باشد آنگاه فاکتور اول چپ برای آن این

گونه تعریف می گردد:

$$p = M^{-1}N \quad (7-3)$$

که $M, N \in RH^\infty$ هستند و فاکتور اول چپ می باشند آنگاه داریم:

$$P = \begin{bmatrix} A & B \\ C & D \end{bmatrix} \quad (8-3)$$

که تحقق رویت پذیر P است و L نیز یک ماتریس با ابعاد مناسب است به قسمی که $A+LC$ پایدار

باشد آنگاه فاکتور اول چپ آن از رابطه زیر بدست می آید:

$$[M \quad N] = \begin{bmatrix} A + LC & | & L & B + LD \\ C & | & I & D \end{bmatrix} \quad (9-3)$$

²⁷ Left Coprime factorization

۴.۱.۳ - فاکتور طیفی^{۲۸}: (در حالت پیوسته) [۱۶]

فرض کنید $G(s)$ یک تابع انتقال سره با ماتریس های حالت زیر به قسمی که یک تحقق رویت پذیر

باشد:

$$G(s) = \begin{bmatrix} A & B \\ C & D \end{bmatrix}$$

و ماتریس D نیز دارای مرتبه کامل و ماتریس زیر نیز دارای مرتبه کامل به ازای همه فرکانس ها باشد:

$$\begin{bmatrix} A - j\omega I & B \\ C & D \end{bmatrix} \quad (10-3)$$

فرض کنید ماتریس $R = DD'$ و Y تعریف شوند به قسمی که یک جواب پایدار برای معادله ریکاتی

زیر خواهد بود: [۲۰]

$$(A - BD'R^{-1}C)X + X(A - BD'R^{-1}C)' - XC'R^{-1}CX + B(I - D'R^{-1}D)B' = 0 \quad (11-3)$$

به قسمی که $A - BD'R^{-1}C - XC'R^{-1}C$ پایدار باشد. آنگاه فاکتور طیفی به فرم زیر برقرار خواهد بود:

$$W\widetilde{W} = G\widetilde{G} \quad (12-3)$$

به قسمی که $[21]$ ، $[23]$ و $W^{-1} \in RH_\infty$

$$W = \begin{bmatrix} A & (BD' + XC')R^{-\frac{1}{2}} \\ C & R^{\frac{1}{2}} \end{bmatrix} \quad (13-3)$$

²⁸ Spectral factorization

۲.۳- بیان مسئله:

معادله حالت مربوط به سیستم خطی تغییرناپذیر با زمان در حالت پیوسته با در نظر گرفتن اغتشاش و

خطا در زیر نشان داده شده است: [۲۴]

$$\dot{x}(t) = Ax(t) + Bu(t) + B_d d(t) + B_f f(t) \quad (14-3)$$

$$y(t) = Cx(t) + Du(t) + D_d d(t) + D_f f(t) \quad (15-3)$$

به قسمی که $x(t) \in R^n$ بردار حالت ، $y(t) \in R^n$ خروجی قابل اندازه گیری ، $d(t) \in R^{nd}$ نشان دهنده اغتشاش نامعین و ناشناخته و نویز قابل اندازه گیری هستند و $f(t) \in R^{nf}$ نشان دهنده بردار خطای سنسور ، محرک و یا اجزای سیستم است. $f(t), d(t)$ را می توان با توجه به موقعیت های مورد بررسی به شکل های دیگر نیز مدل نمود.

دو فرض معمول در مورد $f(t), d(t)$ فرم زیر است:

(i) سیگنال های ناشناخته با انرژی و توان محدود

(ii) نویز سفید

فرضیات مختلف برای $d(t), f(t)$ مسائل مختلف تشخیص خطای را بیان می کند که هر یک راه حل به خود را دارد.

باید یادآوری شود که همه اطلاعات اغتشاش و خطای در مدل سیستم گنجانده شده است. بنابراین هیچ مدل اضافی به شکل توابع وزنی برای خطای اغتشاش وجود ندارد.

همه ماتریس های ضرایب در معادله (14-3) و (15-3) ثابت و مشخص فرض شده اند.

فرض ۱: ماتریس (A, C) سیستم رویت پذیر فرض شده است. البته این فرض برای همه سیستم‌های تشخیص خطأ فرض می‌گردد.^[۲۷]

فرض ۲: D_d دارای مرتبه کامل سطّری^{۲۹} باشد به این معنا که $n_d < n_y$ باشد و این فرض به این معنی است که همه سیگنال‌های قابل اندازه‌گیری در خروجی، توسط همه یا بعضی سیگنال‌های اغتشاش و نویز تحت تأثیر قرار می‌گیرند. این فرض در بررسی سیستم‌های کنترلی، بدون آنکه کلیت مسئله را تحت تأثیر قرار دهد باید در نظر گرفته شود، زیرا که در سیستم‌های عملی، اندازه‌گیری بی عیب و نقص غیرممکن است و از طرفی دیگر فرض استقلال نویزهای قابل اندازه‌گیری نیز امری معقول است.

بنابراین فرض کامل بودن مرتبه D_d نیز معقول خواهد بود. اگر در مدل‌های ساده، D_d دارای مرتبه کامل نباشد می‌توان برای رسیدن به این هدف به ماتریس D_d ستون‌هایی اضافه نمود تا این فرض برقرار گردد و طراحی سیستم تشخیص خطأ امکان پذیر گردد.

برای مثال فرض کنید D_d دارای مرتبه کامل نباشد:

$$\tilde{d} = \begin{bmatrix} d \\ d_\varepsilon \end{bmatrix}, \quad \tilde{B}_d = [B_d \quad 0_{n \times ny}], \quad \tilde{D}_d = [D_d \quad \in I_{ny}]$$

برای $\epsilon > 0$ آنگاه \tilde{D}_d نیز دارای مرتبه کامل خواهد بود.^[۲۶]

البته این فرض در بعضی کاربردها باعث ایجاد محدودیت‌هایی نیز می‌شود که در فرآیندهایی که اغتشاش خارجی و نویز قابل اندازه‌گیری، دو سیگنال از دو گروه کاملاً متفاوت باشند، خود را بیشتر نشان می‌دهد زیرا که تأثیر اغتشاشات و نویزها را نمی‌توان در یک ماتریس نشان داد.

²⁹ Full row rank

فرض ۳: ماتریس $\begin{bmatrix} A - j\omega L & B_d \\ C & D_d \end{bmatrix}$ به ازای همه فرکانس‌ها دارای مرتبه کامل سطربالی باشد این فرض

معادل آن است که تابع انتقال تعریف شده $G_d := \begin{bmatrix} A & B_d \\ C & D_d \end{bmatrix}$ هیچ صفری روی محور موهومی نداشته باشد.

با تبدیل لاپلاس گرفتن از معادله (۱۵-۳) معادله ورودی خروجی سیستم به شکل زیر خواهد بود:

$$y = G_u u + G_d d + G_f f \quad (16-3)$$

به قسمی که G_u, G_d, G_f دارای ابعاد مناسب با توجه به معادلات فضای حالت هستند و تحقق آنها نیز به شکل زیر قابل دسترس خواهد بود:

$$\begin{bmatrix} G_u & G_d & G_f \end{bmatrix} = \begin{bmatrix} A & B & B_d & B_f \\ C & D & D_d & D_f \end{bmatrix} \quad (17-3)$$

دقت شود که توابع تبدیل G_u, G_d, G_f ماتریس‌های A, C مشترکی دارند و با توجه به رابطه فاکتور اول چپ برای این سیستم داریم:

$$\begin{bmatrix} G_u & G_d & G_f \end{bmatrix} = M^{-1} \begin{bmatrix} N_u & N_d & N_f \end{bmatrix} \quad (18-3)$$

که می‌توان نوشت:

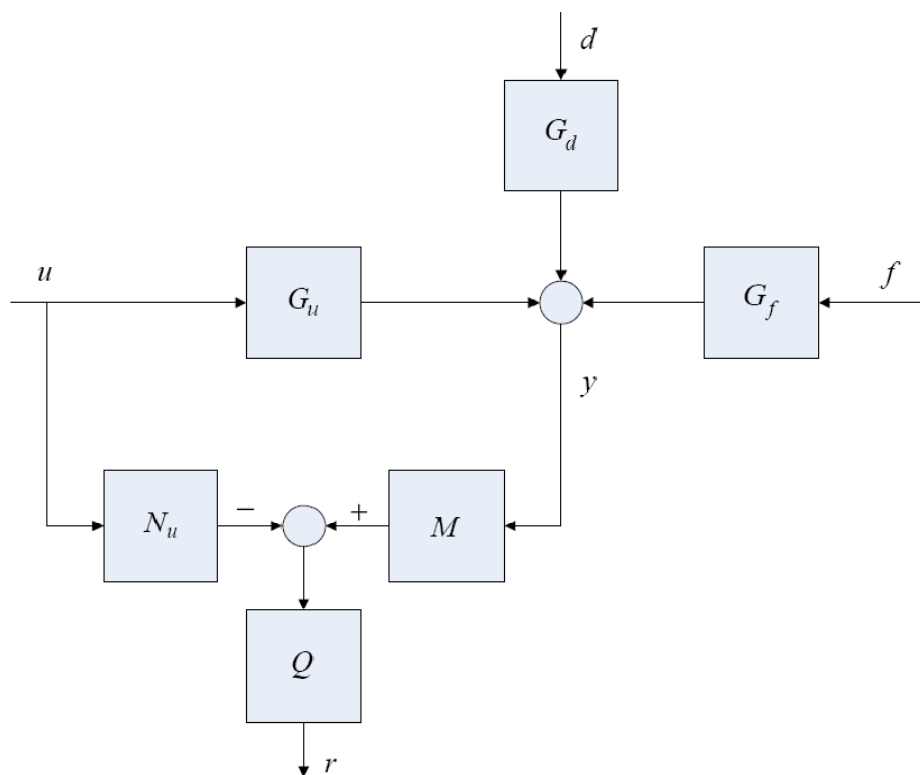
$$\begin{bmatrix} M & N_u & N_d & N_f \end{bmatrix} = \begin{bmatrix} A + LC & L & B + LD & B_d + LD_d & B_f + LD_f \\ C & I & D & D_d & D_f \end{bmatrix} \quad (19-3)$$

ماتریس L به گونه‌ای انتخاب می‌شود که ماتریس $A + LC$ پایدار باشد. برای بررسی پایداری کافیست مقادیر ویژه ماتریس را بدست آورده و منفی بودن آن را بررسی نمایید. اگر منفی باشند ماتریس پایدار در غیر این صورت ناپایدار خواهد بود. [۲۸]

با انجام محاسبات جبری برای باقیمانده می توان به معادله زیر رسید:

$$r = Q(My - N_u u) = Q[M \quad -N_u] \begin{bmatrix} y \\ u \end{bmatrix} \quad (20-3)$$

که r بردار تشخیص خطأ و Q یک ماتریس فضای حالت پایدار است که باید طراحی شود. ساختار کلی فیلتر در شکل ۱-۳ نشان داده شده است: [۲۴، ۲۵]



شکل ۱-۳ ساختار کلی سیستم تشخیص خطای مقاوم

حال اگر معادله (۱۸-۳) را در معادله (۲۰-۳) جایگذاری نماید آنگاه معادلات مربوط به سیگنال باقی

مانده به فرم زیر خواهد بود:

$$\begin{aligned} r &= Q(My - N_u u) = Q[M(G_u u + G_d d + G_f f) - N_u u] \\ &= Q[(N_u u + N_d d + N_f f) - N_u u] = QN_d d + QN_f f \end{aligned} \quad (21-3)$$

و در نهایت به رابطه زیر خواهد رسید:

$$r = Q[N_d \ N_f] \begin{bmatrix} d \\ f \end{bmatrix} = QN_d d + QN_f f \quad (22-3)$$

دقت شود که تابع تبدیل به دست آمده از سیگنال اغتشاش و خطأ به سیگنال باقی مانده توسط G_{rd} و G_{rf} قابل بیان است:

$$G_{rd} = QN_d \quad , \quad G_{rf} = QN_f \quad (23-3)$$

همان طور که قبلًا بحث شده بود، یک فیلتر تشخیص خطای مناسب نیاز به مصالحه بین دو هدف دارد که این دو هدف در تناقض کامل با هم می باشند که هدف اول، مقاوم بودن به حذف اغتشاش و هدف دوم حساس بودن به خطأ است. برای رسیدن به مقاومت خوب در مقابل اغتشاش، اثر اغتشاش بر روی سیگنال خروجی باقی مانده باید حداقل گردد. از طرف دیگر سیگنال باقی مانده تا جایی که امکان دارد باید به خطأ حساس باشد. به همین دلیل شاخص H یک مقدار سنجش مناسب برای تابع انتقال بهره کوچک است و از طرفی اگر بتوان $f(t)$ را به صورت یک سیگنال با انرژی یا توان محدود مدل کرد $\|G_{rf}\|$ یک معیار سنجش مناسب برای حساسیت تشخیص خطای سیستم است اما از آنجائیکه این معیار برای اکثر توابع تبدیل به آسانی قابل محاسبه نیست، هدف طراحی سیستم تشخیص خطأ با مشکل رو به رو خواهد شد. [۸]

اگر $d(t)$ را بتوان به صورت یک سیگنال با انرژی نا مشخص و یا توان محدود مدل کرد آنگاه نرم بینهایت تابع انتقال متناظر با آن به عنوان مقبول ترین پارامتر سنجش است و $\|G_{rd}\|_\infty$ نشان دهنده بهترین رفتار حذف اغتشاش سیستم است. از طرف دیگر اگر $d(t)$ و یا $f(t)$ نویز سفید باشند نرم ۲ در تابع انتقال G_{rd} و یا G_{rf} به نظر می رسند که می توانند معیارهای مناسبی برای طراحی سیستم تشخیص خطأ باشند.

در این قسمت مسئله طراحی فیلتر تشخیص خطا به صورت فرموله بیان می گردد:

۳.۳ - طراحی فیلتر تشخیص خطا به روش $(\frac{H_2}{H_\infty})$: سیستم تحت نامعینی را به صورت

معادلات (۱۴-۳) و (۱۵-۳) در نظر بگیرید و گاما هم به عنوان سطح آستانه حذف اغتشاش برای سیستم تشخیص خطا در نظر گرفته شده است و هدف یافتن فیلتر بهینه Q به نحوی است که $\gamma < \|G_{rd}\|_\infty$ و $\|G_{rf}\|_2$ به بیشترین مقدار خود برسد که با رسیدن به این منظور در صورت بروز اغتشاش سیستم کمترین عکس العمل و در صورت بروز خطا بیشترین عکس العمل را از خود نشان می دهد. [۲۶] ، [۲۷]

$$\max_{ny \times ny} \{ \|QN_f\|_2 : \|QN_d\|_\infty \leq \gamma \} \quad (24-3)$$

نکته: فرض کنید که G_d را بتوان به فرم زیر نوشت:

$$G_d = M^{-1}N_d$$

به قسمی که $M, N \in R_{H^\infty}$ باشند آنگاه N_d هیچ صفر انتقالی روی محور ωj نخواهد داشت یا به طور معادل برای هر ماتریس L با ابعاد مناسب ماتریس زیر دارای مرتبه کامل سط्रی به ازای همه فرکانس ها در فضای R باشد:

$$\begin{bmatrix} A + LC_{j\omega I} & B_d + LD_d \\ C & D_d \end{bmatrix} \quad (25-3)$$

نکته: فرض کنید معادلات توصیف کننده سیستم به صورت (۱۴-۳) و (۱۵-۳) در اختیار باشد و بتوان آن را به فرم:

$$G_d = M^{-1}N_d$$

به وسیله هر فاکتور کوپریم چپ نوشت. آنگاه ماتریس انتقال مربعی $V \in R_H$ به گونه ای موجود است که آنگاه می توان نوشت: $V^{-1} \epsilon R_H$

$$V\tilde{V} = N_d \tilde{N}_d \quad (26-3)$$

به ویژه اگر نمایش ماتریسی N_d در دسترس باشد ، آنگاه نمایش فضای حالت V را می توان به صورت زیر نشان داد:

$$\nu = \begin{bmatrix} A + LC & (L - L_0)R_d^{\frac{1}{2}} \\ C & R_d^{\frac{1}{2}} \end{bmatrix} \quad (27-3)$$

به نحوی که برای V^{-1} داریم:

$$V^{-1} = \begin{bmatrix} A + L_0 C & L_0 - L \\ R_d^{-\frac{1}{2}} C & R_d^{-\frac{1}{2}} \end{bmatrix} \quad (28-3)$$

به نحوی که $R_d := D_d D_d' > 0$ و $Y > 0$ یک جواب پایدار برای معادله ریکاتی زیر است:[۲۶]

$$(A - B_d D_d' R_d^{-1} C)Y + Y(A - B_d D_d' R_d^{-1} C) - YC' R_d^{-1} CY + \\ B_d(I - D_d' R_d^{-1} D_d)B_d' = 0 \quad (29-3)$$

به طوری که $A - B_d D_d' R_d^{-1} C - YC' R_d^{-1} C$ پایدار باشد ، آنگاه ماتریس L_0 را می توان به صورت زیر بیان کرد:[۲۶]

$$L_0 := -(B_d D_d' + YC')R_d^{-1} \quad (30-3)$$

نکته: فرض کنید معادلات (۱۴-۳) و (۱۵-۳) برای بیان سیستم حکم فرما باشد و V, V^{-1}, R_H قابل تعريف هستند به گونه ای که معادله زیر قابل بیان باشند:

$$Q = \Psi V^{-1} \quad (31-3)$$

برای $\psi \epsilon R_H$ داریم $\tilde{N}_f = v^{-1} N_f$. آنگاه مسئله تشخیص خطا تبدیل به مسئله زیر می شود:

$$\max_{ny \times ny} \left\{ \|\Psi \tilde{N}_f\|_2 : \|\Psi\|_2 \leq \gamma \right\} \quad (32-3)$$

در این قسمت با توجه به فرمول ها و مفاهیم ارائه شده در قسمت قبل، راه حل مناسبی برای طراحی فیلتر تشخیص خطأ به صورت جامع ارائه خواهد شد.

گام اول:

فرض کنید که معادلات (14-3) و (15-3) بر سیستم حاکم باشد و ماتریس ها بیان شده در معادلات به طور کامل و دقیق مشخص و معین باشند: [۲۷]، [۲۹]

$$[G_u \quad G_d \quad G_f] = M^{-1} [N_u \quad N_d \quad N_f]$$

که یک فاکتور کوپریم چپ برای بیان این سیستم می باشند و $V \in R_H$ نیز یک ماتریس انتقال مربعی است به گونه ای که $V^{-1} \in R_H$ و $VV^T = N_d \tilde{N}_d$ آنگاه داریم:

$$\max_{ny \times ny} = \{\|QN_f\|_2 : \|QN_d\|_\infty \leq \gamma\} = \gamma \|V^{-1}N_f\|_2 \quad (33-3)$$

و فیلتر تشخیص خطأ بهینه نیز با توجه به مسئله بیان شده در قسمت های قبل به شکل زیر بدست می آید:

$$r = Q_{opt} [M - N_u] \begin{bmatrix} y \\ u \end{bmatrix} \quad (34-3)$$

به قسمی که :

$$Q_{opt} = \gamma V^{-1} \quad (35-3)$$

نکته: دقت شود فیلتر تشخیص خطای بهینه تولید شده توسط رابطه بالا به B_f , D_f هیچگونه وابستگی ندارد، اما این به این معنی نیست که در طراحی فیلتر به G_f وابستگی ندارد، زیرا که ماتریس های A, C جز تشکیل دهنده G_f هستند. از طرف دیگر $\|QN_f\|$ به طور مستقیم به مرتبه D_f بستگی دارد. [۲۷]

گام دوم:

فرض کنید سیستم فرآیند مورد نظر را بتوان با معادلات (۱۴-۳) و (۱۵-۳) بیان کرد و داریم $[۲۹] \text{ و } [۲۷]$ یک پاسخ پایدار برای معادلات ریکاتی باشد. $R_d := D_d D'_d > 0$

$$(A - B_d D'_d R_d^{-1} C)Y + Y(A - B_d D'_d R_d^{-1} C) - YC' R_d^{-1} CY + B_d(I - D'_d R_d^{-1} D_d)B'_d = 0$$

[۲۶]، [۲۴]: $A - B_d D'_d R_d^{-1} C - YC' R_d^{-1} C$: به طوری که داریم

$$L_0 := -(B_d D'_d + YC')R_d^{-1} \quad (۳۶-۳)$$

به گونه ای که می توان برای باقی مانده نشان داد که می شود:

$$r = Q(My - N_u u) = Q_{opt}[M \quad -N_u] \begin{bmatrix} y \\ u \end{bmatrix}$$

و برای آن داریم:

$$Q_{opt}[M - N_u] = \gamma \begin{bmatrix} A + L_0 C & -L_0 & B + L_0 D \\ -R_d^{\frac{1}{2}} & R_d^{\frac{1}{2}} & -R_d^{\frac{1}{2}} D \end{bmatrix} \quad (۳۷-۳)$$

$$V^{-1}N_f = \begin{bmatrix} A + L_0 C & B_f + L_0 D_f \\ R_d^{-\frac{1}{2}}C & R_d^{-\frac{1}{2}}D_f \end{bmatrix} \quad (38-3)$$

از طرف دیگر فیلتر بهینه تشخیص خطای معادل تشخیص خطای استفاده از رویتگر به شکل زیر خواهد

بود:

$$\hat{x}(t) = (A + L_0 C)\hat{x}(t) - L_0 y(t) + (B + L_0 D)u(t) \quad (39-3)$$

نکته: باید دقت شود که اگر $D_f \neq 0$ ، آنگاه:

$$\max_{ny \times ny} = \{\|QN_f\|_2 : \|QN_d\|_\infty \leq \gamma\} = \gamma \|V^{-1}N_f\|_2 = \infty \quad (40-3)$$

این بدین معنی است که این فیلتر بهینه، نسبت به خطای سنسوری خیلی خیلی حساس خواهد بود. [۲۵]

[۲۶] ،

فصل چهارم

نتایج شبیه سازی

۱.۴ - مقدمه:

امروزه سیستم های کنترلی مدرنی در سرتاسر جهان به کار بردہ می شوند کہ یکی از پرکاربرد ترین سیستم های کنترلی، سیستم های کنترل هوایپیماست. این سیستم از آن جهت مورد توجه قرار گرفته است که بروز خطا در این سیستم ها و عدم شناسایی به موقع آن می تواند خدمات و آسیب های جبران ناپذیری را وارد کند. سیستم ها کنترلی هوایپیما به دو دسته کلی تقسیم بندی می شوند:

۱- هوایپیماهای نظامی و بدون سرنشی: از ویزگی های این فرآیندهای کنترلی می توان به سرعت بالای سیستم آن و وجود نویز و اغتشاش بسیار در آن اشاره کرد.

۲- هوایپیماهای مسافربری: سیستم ها کنترلی در این گروه از فرآیند ها دارای پاسخ های سیستمی کندي می باشند و به همین جهت وجود یک سیستم تشخیص خطای سریع و دقیق می تواند وجود خطا را قبل از آنکه فاجعه ای به وجود آید براحتی تشخیص دهد.

با توجه به اهمیت اقتصادی و اجتماعی سیستم های کنترلی هوایپیماها در ادامه سیستم کنترلی هوایپیماهای مسافربری بوئینگ ۷۴۷ مورد بررسی قرار می گیرد و روند طراحی فیلتر تشخیص خطای مقاوم نشان داده خواهد شد. در پایان نیز با اعمال خطا و اغتشاش به سیستم، پاسخ این فیلتر نمایش داده می شود.

۲.۴ بررسی هوایپیما بوئینگ ۷۴۷

منظور از سیستم کنترلی یک هوایپیما، کنترل پارامترهای مهم در پرواز است که مهمترین آنها ارتفاع، جهت پرواز و سرعت آن می باشد. با توجه به نوع حرکت هوایپیما سه زاویه مهم برای تعیین جهت هوایپیما در نظر گرفته شده است که متناظر با ۳ جهت قابل حرکت برای یک هوایپیماست.

برای یک هواپیمای بوئینگ ۷۴۷ ، ۱۰ متغیر حالت می‌توان در نظر گرفت که به شکل زیر قابل بیان می‌باشند:

- ۱- میزان پیچ
- ۲- میزان رول
- ۳- میزان یاو
- ۴- سرعت واقعی
- ۵- زاویه سطح آپرودینامیکی نوک هواپیما با باد
- ۶- زاویه انحراف جانبی
- ۷- زاویه پیچ
- ۸- زاویه رول
- ۹- زاویه یاو
- ۱۰- ارتفاع از سطح دریا

برای این سیستم ۸ ورودی و دو خروجی در نظر گرفته شده است و مراحل طراحی فیلتر تشخیص خطای برای یک سیستم ۸ ورودی و ۲ خروجی بیان شده است. خروجی‌های در نظر گرفته شده میزان رول و سرعت واقعی سیستم می‌باشند.

۱.۲.۴ - بیان ریاضی مسئله:

مدل خطی شده سیستم با ۱۰ متغیر حالت، ۸ ورودی و ۲ خروجی مطابق معادله (۱۴-۳) و (۱۵-۳) به فرم زیر بیان می‌گردد:

$$A = \begin{bmatrix} -.79962 & 0 & .31731 & 0 & 0 & -3.2597 & 0 & 0 & -0.00001 & 0 \\ 0 & -.69185 & 0 & -7.7746 \times 10^{-6} & -1.2034 & 0 & 0 & 0 & 0 & .0001 \\ -.024198 & 0 & -.15071 & 0 & 0 & 1.1682 & -.002 & 0 & 0 & .000001 \\ 0 & -.081745 & 0 & -.0054 & 5.7634 & 0 & 0 & -9.785 & 0 & 0 \\ 0 & 1.0021 & 0 & -3.87 \times 10^{-4} & -.50424 & 0 & 0 & 0 & 0 & 0 \\ .027569 & 0 & -.99552 & 0 & 0 & -.09941 & .04218 & 0 & 0 & .001 \\ 1 & 0 & .027603 & 0 & 0 & 0 & 0 & 0 & 0 & 0 \\ 0 & 1 & 0 & 0 & 0 & 0 & 0 & 0 & 0 & -.00001 \\ 0 & 0 & 1 & 0 & 0 & 0 & 0 & 0 & .000001 & 0 \\ .00001 & 0 & 0 & 0 & -232.49 & 0 & 0 & 232.49 & 0 & 0 \end{bmatrix}$$

$$B = \begin{bmatrix} 0 & .23 & .06 & 0 & 5.3 \times 10^{-8} & 0.3 \times 10^{-8} & -.3 \times 10^{-8} & -5.3 \times 10^{-8} \\ 2.3 & -1.7 \times 10^{-13} & -1.2 \times 10^{-13} & 4.3 & 2.1 \times 10^{-8} & 5.6 \times 10^{-8} & 5.6 \times 10^{-8} & 21 \times 10^{-8} \\ 0 & .014 & -.22 & 0 & 3.1 \times 10^{-8} & 1.8 \times 10^{-8} & -1.8 \times 10^{-8} & -3.1 \times 10^{-8} \\ 0 & 0 & 5.5 \times 10^{-13} & 0 & 3.3 \times 10^{-6} & 3.3 \times 10^{-6} & 3.3 \times 10^{-6} & 3.3 \times 10^{-6} \\ .046 & 0 & 0 & .09 & -.1 \times 10^{-8} & -.1 \times 10^{-8} & -.1 \times 10^{-8} & -.1 \times 10^{-8} \\ 0 & 0 & .0036 & 0 & .5 \times 10^{-8} & .5 \times 10^{-8} & -.5 \times 10^{-8} & -.5 \times 10^{-8} \\ 0 & 0 & 0 & 0 & 0 & 0 & 0 & 0 \\ 0 & 0 & 0 & 0 & 0 & 0 & 0 & 0 \\ 0 & 0 & 0 & 0 & 0 & 0 & 0 & 0 \\ 0 & 0 & 0 & 0 & 0 & 0 & 0 & 0 \end{bmatrix}$$

$$C = \begin{bmatrix} 0 & 1 & 0 & 0 & 0 & 0 & 0 & 0 & 0 & 0 \\ 0 & 0 & 0 & 1 & 0 & 0 & 0 & 0 & 0 & 0 \end{bmatrix}$$

$$B_d = \begin{bmatrix} 0 & .00541 \\ 0 & .2212 \\ -.009843 & 1 \\ -.09 & -.5 \\ .03 & 0 \\ .0011 & .002286 \\ .13 & .45 \\ .00222 & -3.21 \\ .0021 & -.0022 \\ .0011 & .031 \end{bmatrix}$$

$$Dd = \begin{bmatrix} .012 & -.99 \\ -.0034 & .43 \end{bmatrix}$$

$$B_f = \begin{bmatrix} 0 & 1.34 \\ .70056 & 2 \\ -.3 & .000451 \\ -.9 & -.5 \\ .03 & 1.1 \\ -.671 & 2.2 \\ 1.03 & .45 \\ 2.2 & -3.21 \\ .21 & -.22 \\ .11 & .31 \end{bmatrix}$$

$$D_d = \begin{bmatrix} .012 & -.99 \\ -.0034 & .43 \end{bmatrix}$$

بقيه ماترييس ها صفر در نظر گرفته شده اند.

در مرحله اول رویت پذيرى و كنترل پذيرى سيسitem با بررسى مرتبه ماترييس های كنترل پذيرى و رویت پذيرى انجام گرفت و هر دو ماترييس از مرتبه کامل ۱۰ برخوردار هستند. با توجه به معادلات (۷-۳) و (۹-۳) باید فاكتور کوپريم چپ برای سيسitem پيدا نمود تا بتوان آنرا به فرم زير نوشت:

$$[G_u \quad G_d \quad G_f] = M^{-1} [N_u \quad N_d \quad N_f]$$

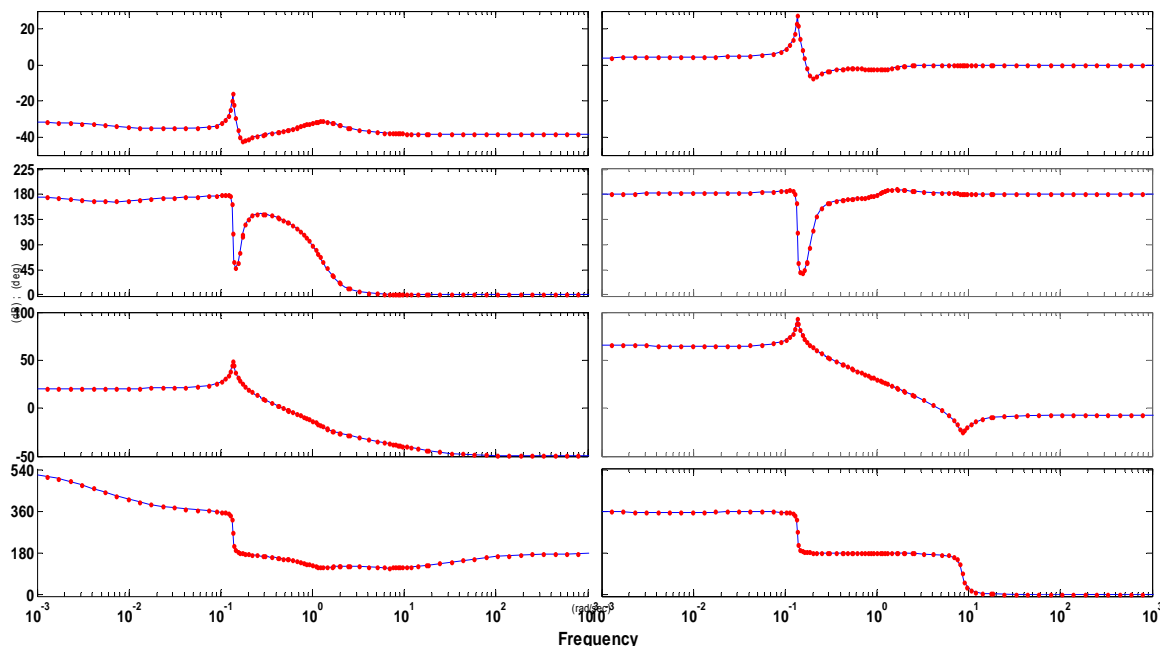
برای اين کار ابتدا باید ماترييس L را به گونه اي پيدا کرد تا ماترييس $A+LC$ يك ماترييس پايدار باشد. ماترييس L به صورت زير در نظر گرفته شده است و در نهايت نيز مقادير ويژه ماترييس $A+LC$ نشان دهنده پايداري اين ماترييس مي باشد.

$$L = \begin{bmatrix} -0.0002 & 0.0005 \\ -0.001 & 0.003 \\ 0.0001 & -0.001 \\ 0.0004 & 0.01 \\ 0.0004 & -0.001 \\ -0.2 & -0.7 \\ 0.01 & -0.01 \\ -3 & 0.01 \\ 0.1 & 0.01 \\ -0.0001 & 0.1 \end{bmatrix}$$

مقادير ويژه ماترييس $A+LC$ نيز در زير قابل مشاهده است که بيانگر پايداري ماترييس $A+LC$ مي باشد:

$$\text{eig}(A + LC) = \begin{bmatrix} -0.085175 + 1.14504i \\ -0.085175 - 1.14504i \\ -0.87083 \\ -0.57216 + 1.086579i \\ -0.57216 - 1.0865i \\ -0.02350 + 0.3399i \\ -0.02350 - 0.3399i \\ -0.009073 \\ -0.000046 \\ -0.000585 \end{bmatrix}$$

برای نشان دادن صحت عملکرد فاکتور اول چپ ، دیاگرام بود تابع تبدیل G_d به صورت خط پیوسته و همچنین با توجه به رابطه $M^{-1}N_d$ رسم شده است که کاملاً بر هم منطبق می باشند.



شکل ۴-۱ صحت عملکرد کوپریم اول طراحی شده

برای بدست آوردن فیلتر مناسب جهت تشخیص خطا با توجه به معادله (۳-۱۸) نیاز به حل معادله ریکاتی (۳-۲۹) می باشد. این معادله با استفاده از دستور care قابل حل است ، که جواب این معادله یک ماتریس 10×10 بوده و باید در شرط معادله (۳-۲۹) صدق نماید به همین جهت در گام بعد ، این کار با

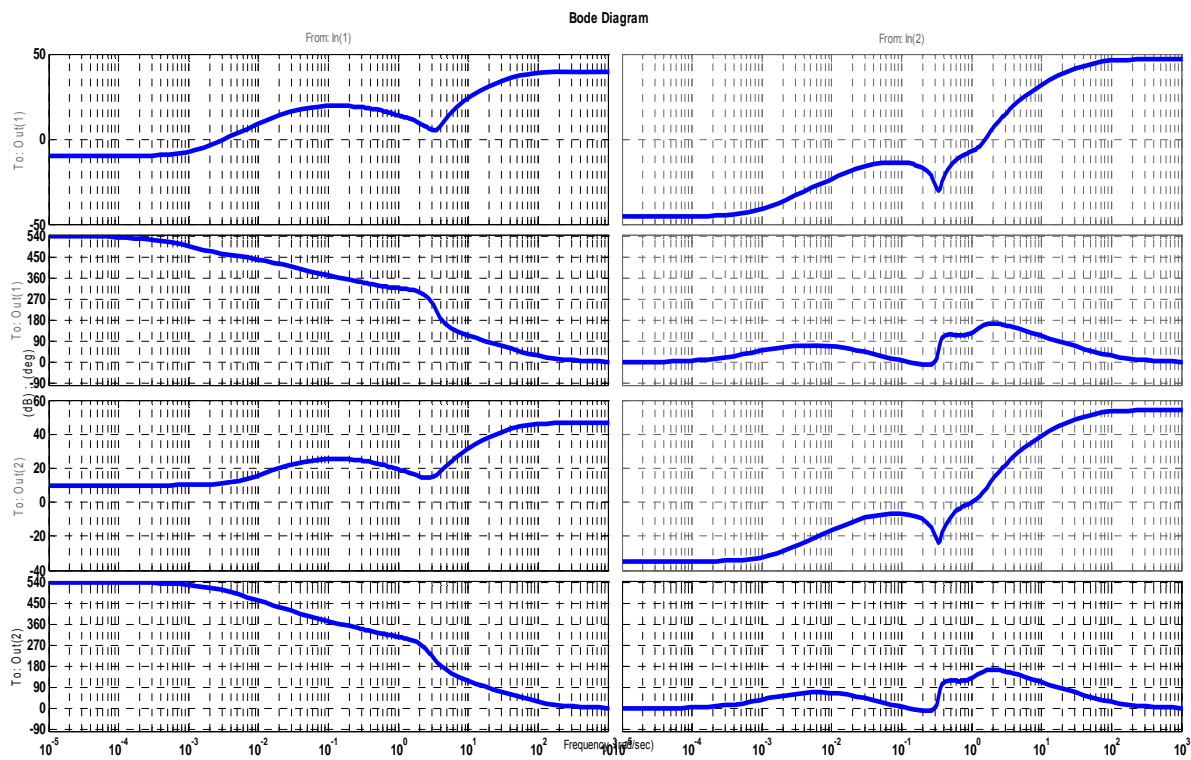
بررسی مقادیر ویژه ماتریس مورد نظر صورت می پذیرد. همه مقادیر منفی می باشند. حال با جایگاری ماتریس بدست آمده از حل معادله ریکاتی در معادله (۳۰-۳) ماتریس L_0 به صورت زیر قابل تعریف است.

$$\text{eig}(A - BdD_d' R_d^{-1}C - YC'R_d^{-1}C) = \begin{bmatrix} -46.2241 \\ -5.8468 \\ -0.08488 + 1.1450103i \\ -0.084884 - 1.145010i \\ -0.870857 \\ -1.1324 \\ -0.48579 \\ -0.0090 \\ -0.000046 \\ -0.035028 \end{bmatrix}$$

$$L_0 = 10^2 \times \begin{bmatrix} -0.0682 & -0.15714 \\ -0.01689 & -0.044031 \\ -0.00486 & -0.03444 \\ -0.22581 & -0.50833 \\ -0.042853 & -0.09866 \\ 0.022579 & 0.05203 \\ 0.14177 & 0.315911 \\ 0.081158 & 0.26150 \\ -0.017385 & -0.03997 \\ -4.00099 & -9.20965 \end{bmatrix}$$

حال با استفاده از ماتریس بهره بدست آمده از حل معادله ریکاتی با استفاده از رابطه (۳۷-۳) می توان فیلترنهایی را تعیین کرد. فیلترنهایی یکتابع تبدیل 2×2 است که اختلاف سیگنال مدل واقعی و مدل ریاضی را دریافت کرده و باقی مانده نهایی را تولید می کند. با تحلیل و آنالیز سیگنال باقی مانده می توان به زمان ورود خطا در سیستم پی برد.

دیاگرام بود فیلترنهایی در شکل ۴-۲ نشان داده شده است.



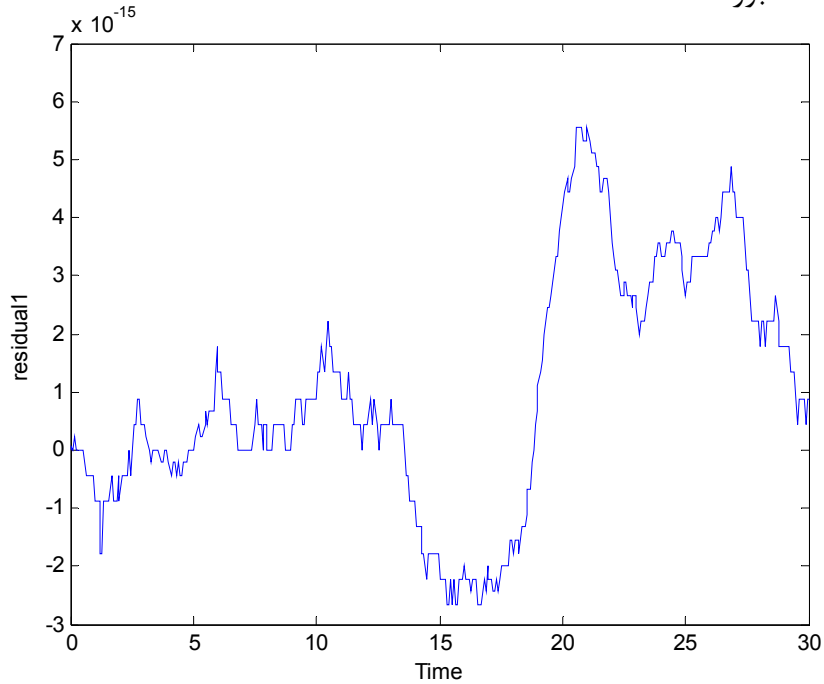
شکل ۴-۲ دیاگرام بود فیلتر طراحی شده

مدار کنترلی سیستم مطابق شکل ۱-۳ بسته و نمودارهای خروجی این سیستم را می توان مطابق شکل های زیر بدست آورد. برای تحلیل بهتر سیستم و نشان دادن کارآمدی فیلتر تشخیص خطای طراحی شده، سیگنال های قبل و بعد فیلتر با هم مقایسه می شوند و همچنین انواع سیگنال های مختلف به عنوان خطا به سیستم اعمال شده و عملکرد این فیلتر در مقابل انواع ورودی های خطا مورد بررسی قرار می گیرد.

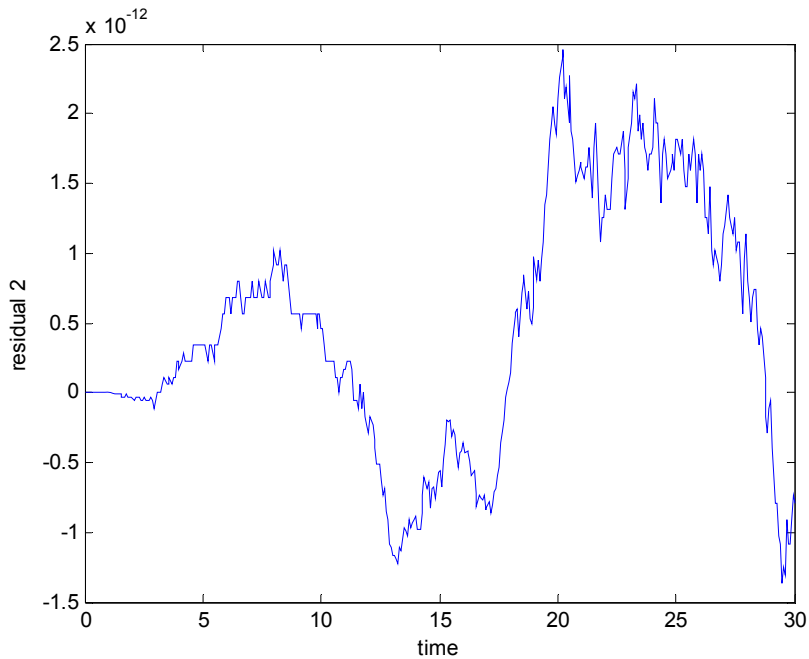
در شرایط عادی کاری سیستم، که هیچ گونه خطا و اغتشاشی به سیستم اعمال نشده است ، انتظار بر این است که سیگنال باقی مانده برابر با صفر باشد ، که با توجه به سیگنال های نشان داده شده نیز این نتیجه بدست آمده است. از آنجائیکه دو متغیر حالت به عنوان ورودی برای سیستم تشخیص خطای در نظر گرفته شده است ، نمودار هر دو سیگنال در ادامه نشان داده خواهد شد. ابتدا سیگنال اغتشاش قبل از فیلتر و سپس همان سیگنال با عبور از فیلتر طراحی شده برای تشخیص خطای نشان داده می شود.

سیگنال شکل ۳-۴ و ۴-۴ نشان دهنده سیگنال باقی مانده در حالت عادی سیستم می باشد که از

فیلتر تشخیص خطأ عبور داده نشده اند.

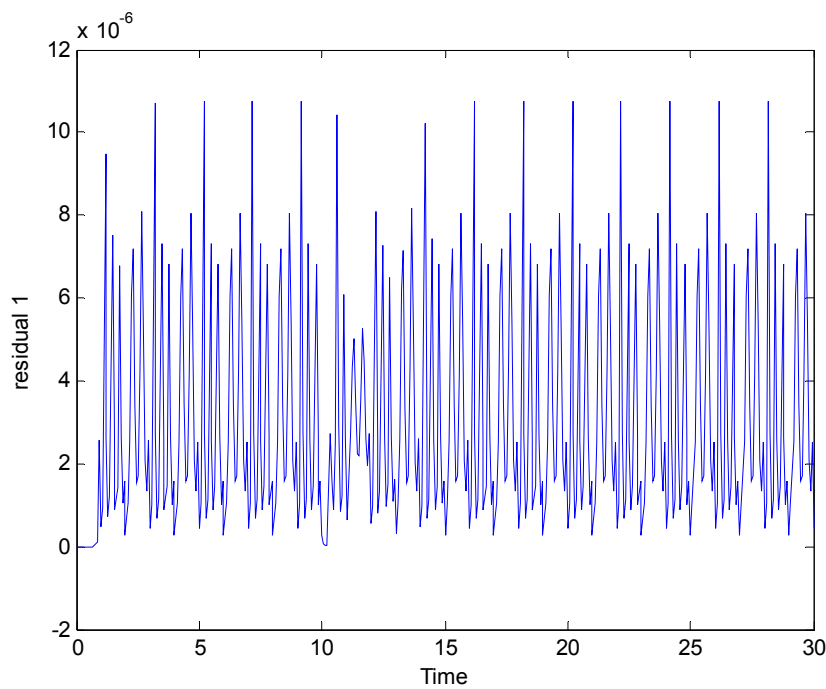


شکل ۳-۴ اولین سیگنال تفاضلی قبل از فیلتر، بدون خطأ و اغتشاش

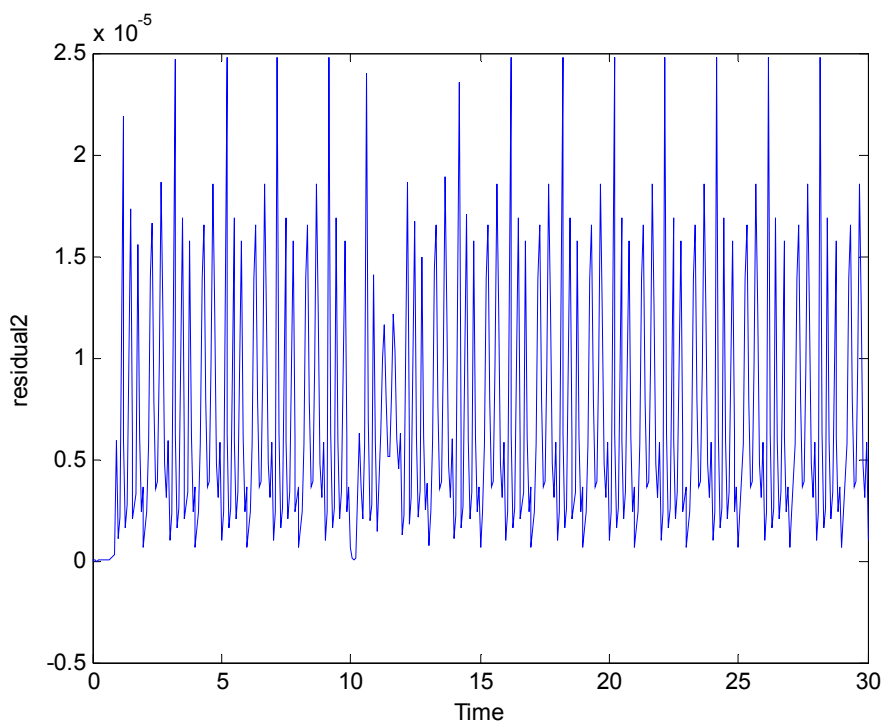


شکل ۴-۴ دومین سیگنال تفاضلی قبل از فیلتر، بدون خطأ و اغتشاش

در شکل های ۴-۵ و ۶-۴ سیگنال باقی مانده را پس از عبور از فیلتر تشخیص خطأ نشان می دهند.



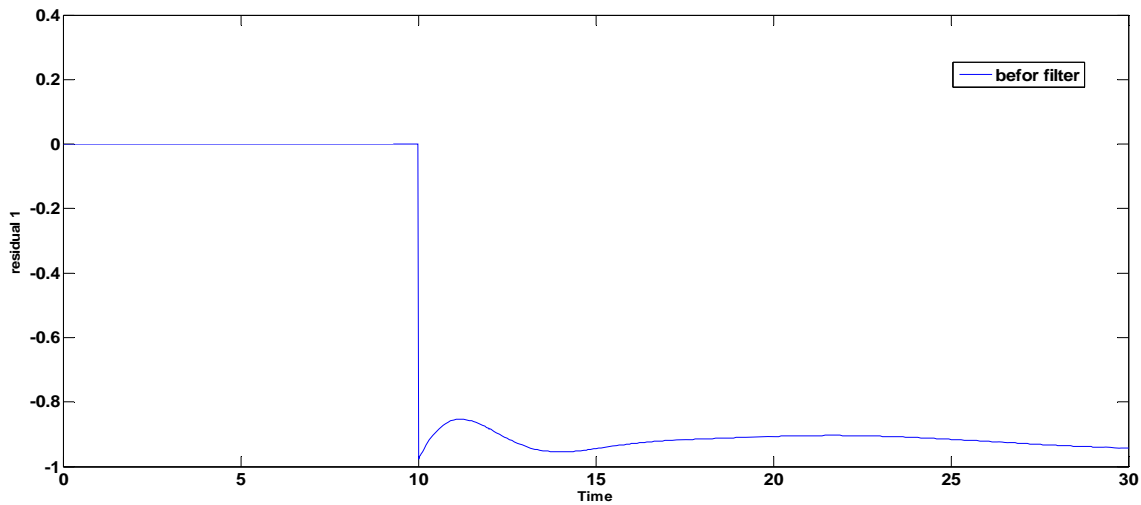
شکل ۴-۵ اولین سیگنال باقی مانده با عبور از فیلتر بدون خطأ و اغتشاش



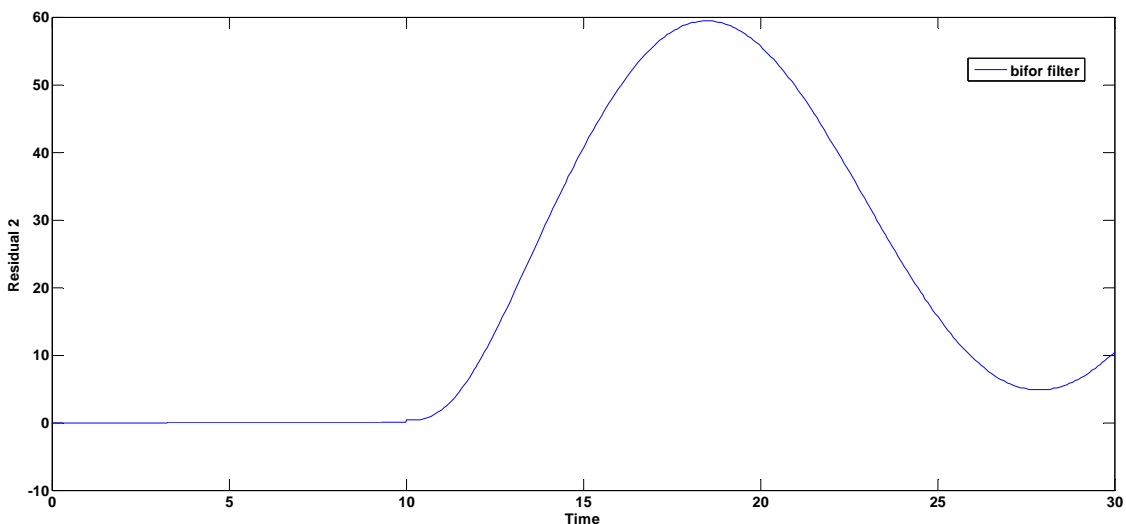
شکل ۶-۴ دومین سیگنال باقی مانده با عبور از فیلتر بدون خطأ و اغتشاش

۳.۴- خطأ و اغتشاش پله واحد

در مرحله بعد برای تست این سیستم، سیگنال اغتشاش از نوع پله با دامنه یک در زمان ۱۰ ثانیه به سیستم اعمال می‌شود، رفتار سیگنال‌های باقی مانده قبل از فیلتر مطابق با شکل های ۷-۴ و ۸-۴ خواهد بود و مهم ترین قسمت یک سیگنال باقی مانده همان لحظه ورودی سیگنال اغتشاش است. زیرا عکس العمل سریع در سیستم‌های تشخیص از فاکتورهای مهم عملکرد سیستم است و در بیشتر موارد بیشترین دامنه ایجاد شده در سیگنال باقی مانده نیز در همان لحظه ورودی سیگنال اغتشاش است.

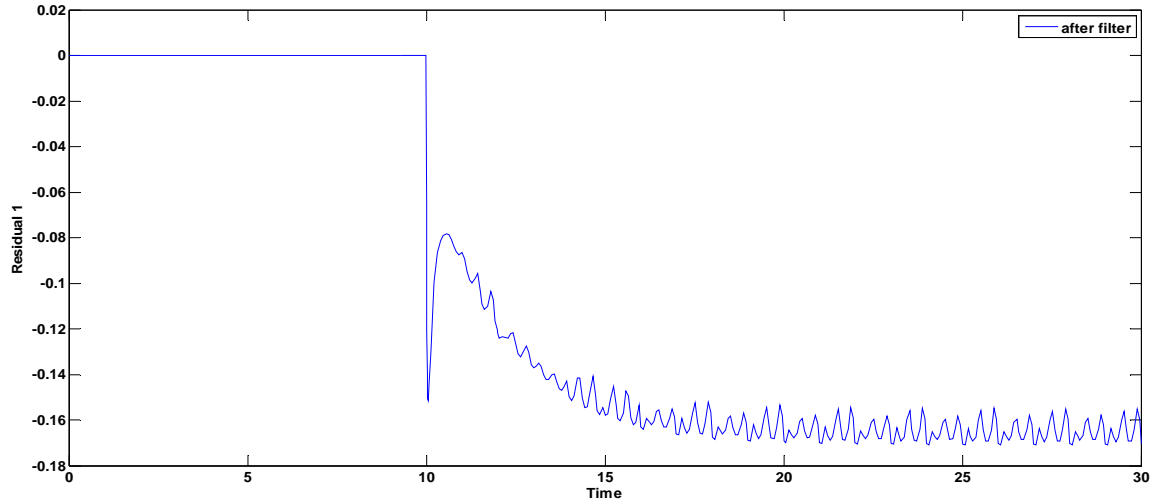


شکل ۷-۴ اولین سیگنال باقی مانده با ورودی اغتشاش قبل از فیلتر بدون خطأ

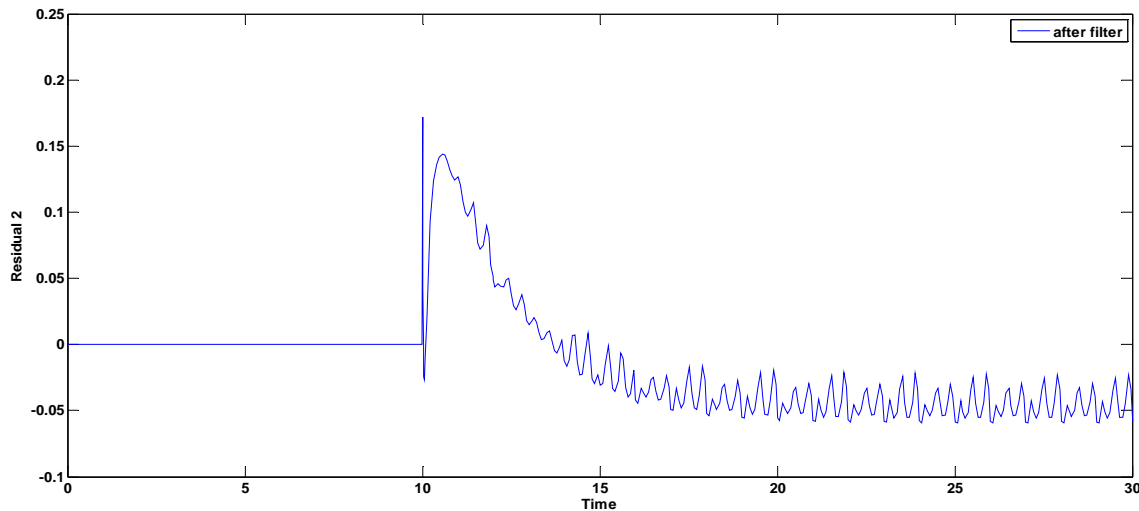


شکل ۸-۴ دومین سیگنال باقی مانده با ورودی اغتشاش قبل از فیلتر بدون خطأ

حال سیگنال نهایی باقیمانده از فیلتر تشخیص خطای طراحی شده عبور داده می شود، رفتار سیگنال باقی مانده در شکل ۹-۴ و ۱۰-۴ نشان داده شده است:



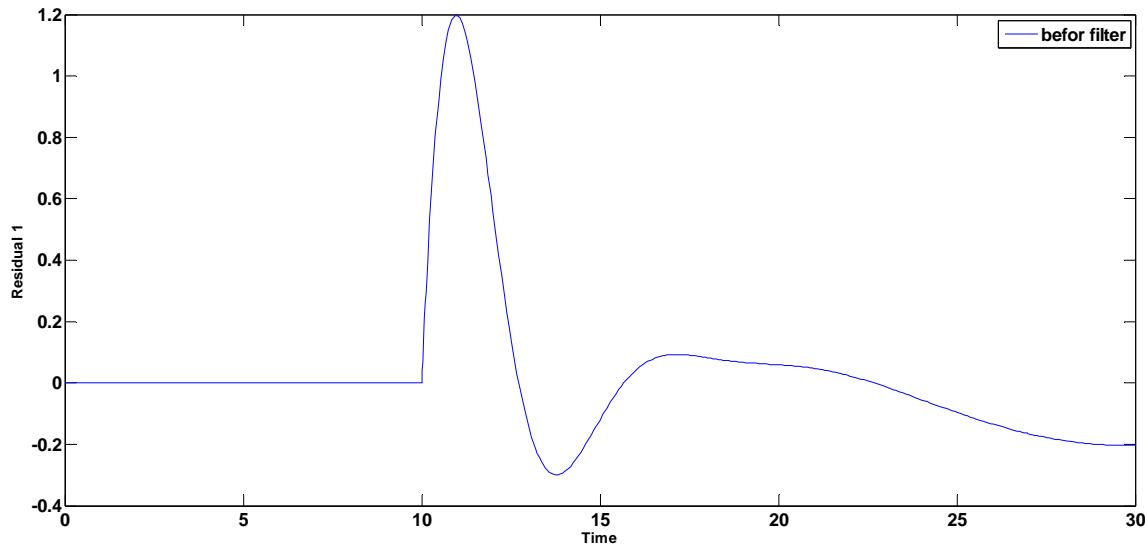
شکل ۹-۴ اولین سیگنال باقی مانده به ورودی اغتشاش پس از عبور از فیلتر بدون خطا



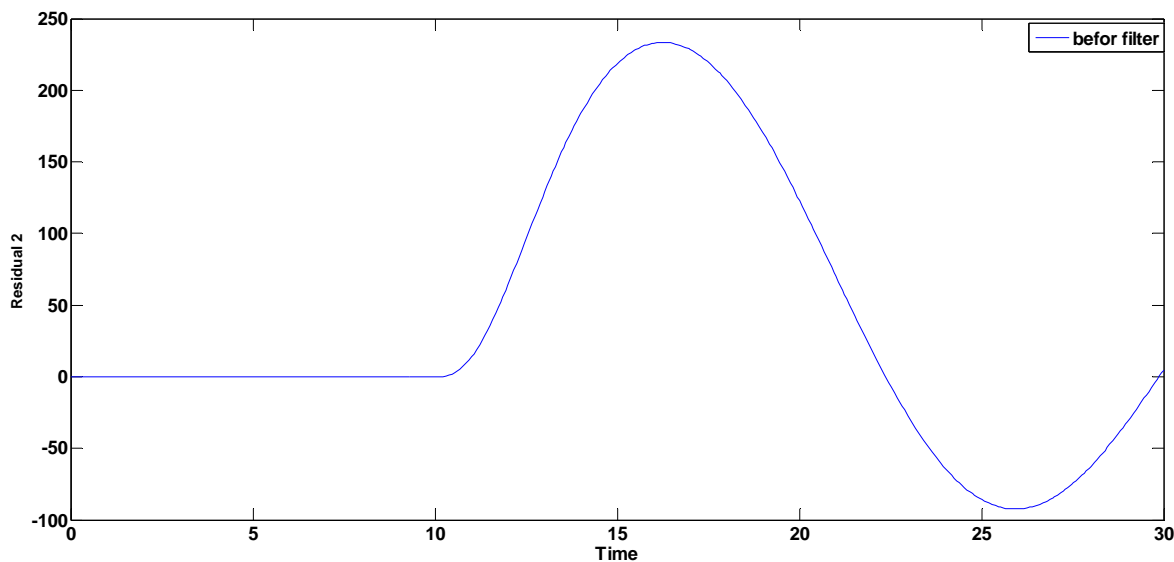
شکل ۱۰-۴ دومین سیگنال باقی مانده به ورودی اغتشاش پس از عبور از فیلتر بدون خطا

همان طور که در مقایسه نمودارهای بالا دیده می شود سیگنال اغتشاش با عبور از این فیلتر تضعیف شده است. این نمودار نشان دهنده عملکرد مطلوب فیلتر تشخیص خطای طراحی شده است. حال سیگنال خطا از جنس پله با دامنه یک در ثانیه ۱۰ اعمال می شود و رفتار سیگنال باقی مانده تولید شده توسط

سیستم تشخیص خطأ، بعد از فیلتر و همچنین قبل از فیلتر در شکل ۱۱-۴ و ۱۲-۴ نشان داده شده است.

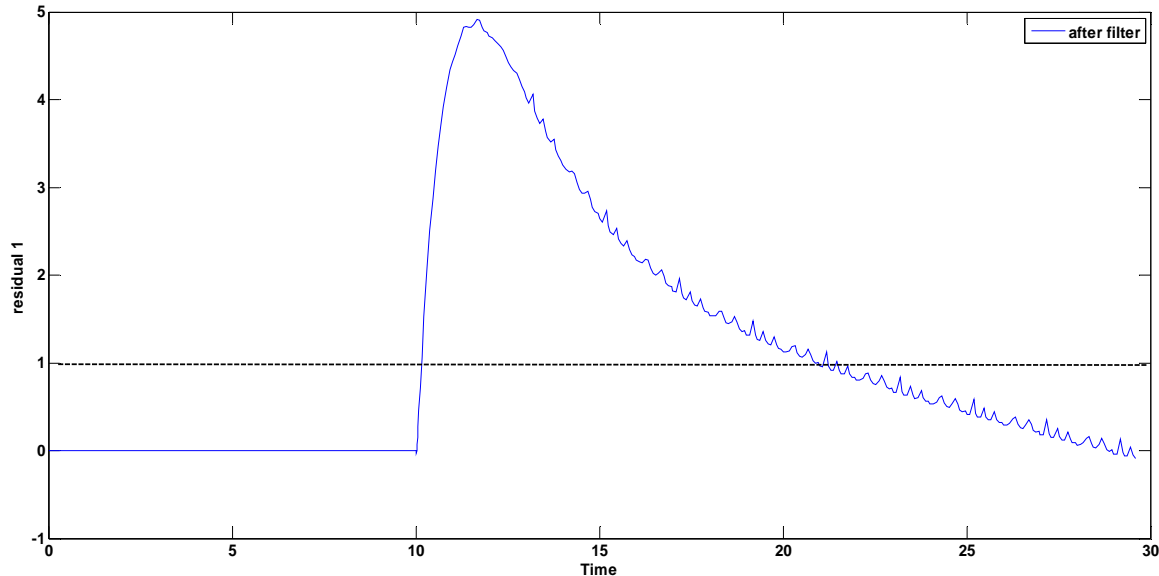


شکل ۱۱-۴ سیگنال باقی مانده به ورودی خطأ، قبل از فیلتر بدون اغتشاش

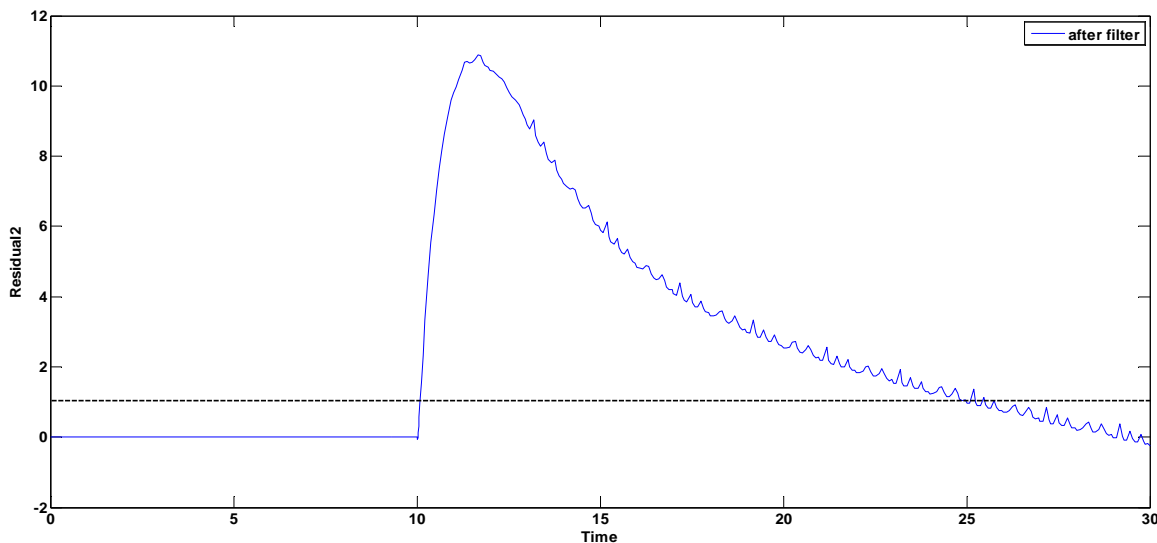


شکل ۱۲-۴ سیگنال باقی مانده به ورودی خطأ، قبل از فیلتر بدون اغتشاش

شکل‌های ۱۳-۴ و ۱۴-۴ نشان‌دهنده عملکرد مطلوب سیستم تشخیص خطای طراحی شده قابل مشاهده است. سطح آستانه برای تشخیص سیگنال باقی مانده یک در نظر گرفته شده است. اگر این سیگنال با سیگنال اغتشاش، شکل ۹-۴ و ۱۰-۴ مقایسه شود به راحتی می‌توان درک کرد که فیلتر طراحی شده سیگنال اغتشاش را به خوبی حذف نموده و نسبت به سیگنال خطأ حداکثر واکنش را نشان داده است.



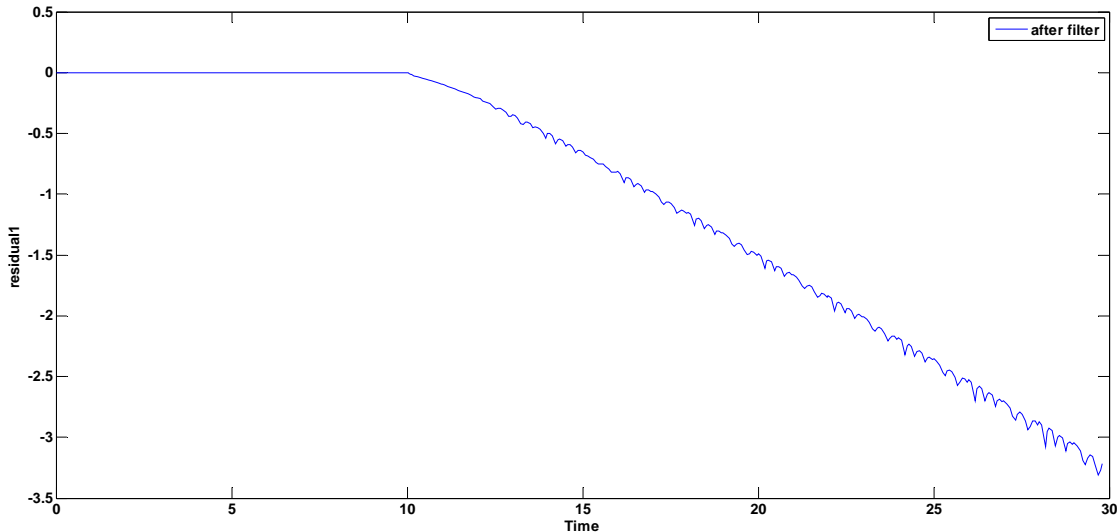
شکل ۱۳-۴ اولین سیگنال باقی مانده به ورودی خطأ پس از فیلتر بدون اغتشاش



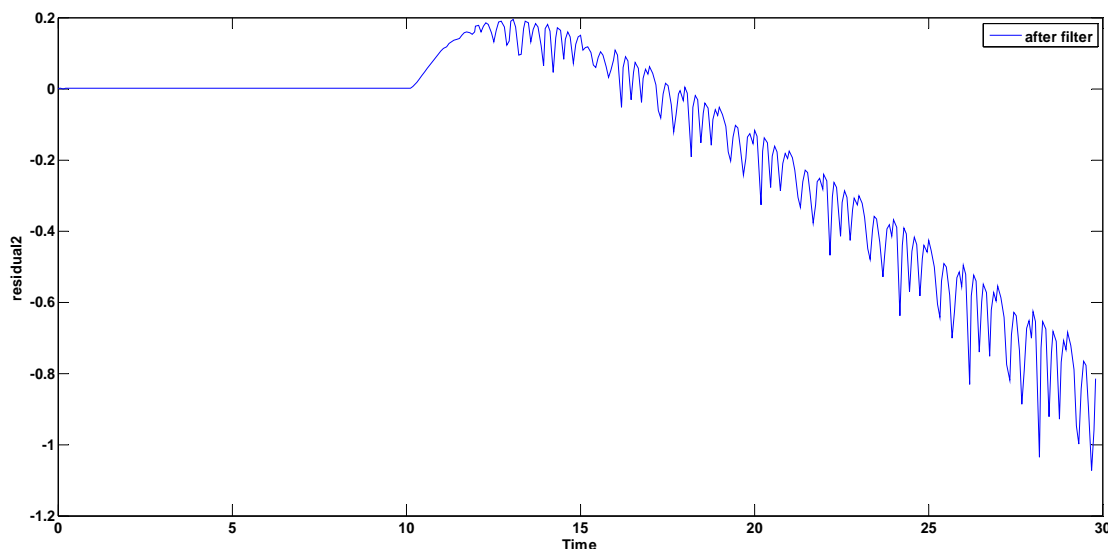
شکل ۱۴-۴ دومین سیگنال باقی مانده به ورودی خطأ پس از فیلتر بدون اغتشاش

۴.۴ - خطأ واغتشاش شبیه واحد

حال نوع ورودی خطأ به یک خطای افزاینده (شبیه) تغییر داده می شود تا قابلیت و سرعت فیلتر تشخیص خطای مقاوم در مورد این ورودی نیز مورد بررسی قرار گیرد. در ابتدا ، اغتشاش از جنس شبیه واحد به سیستم اعمال شده است و همانطور که در شکل‌های زیر می توان دید، سیگنال باقی مانده بعد از عبور از فیلتر تشخیص خطأ در لحظه ورود دارای دامنه کمی می باشد.

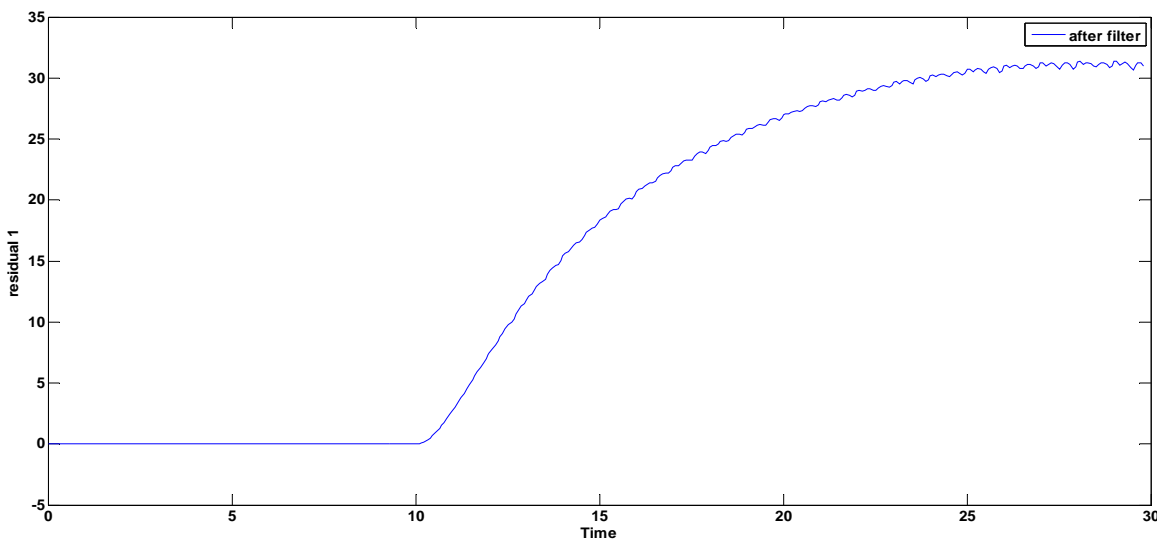


شکل ۴-۱۵ اولین سیگنال باقی مانده به ورودی اغتشاش

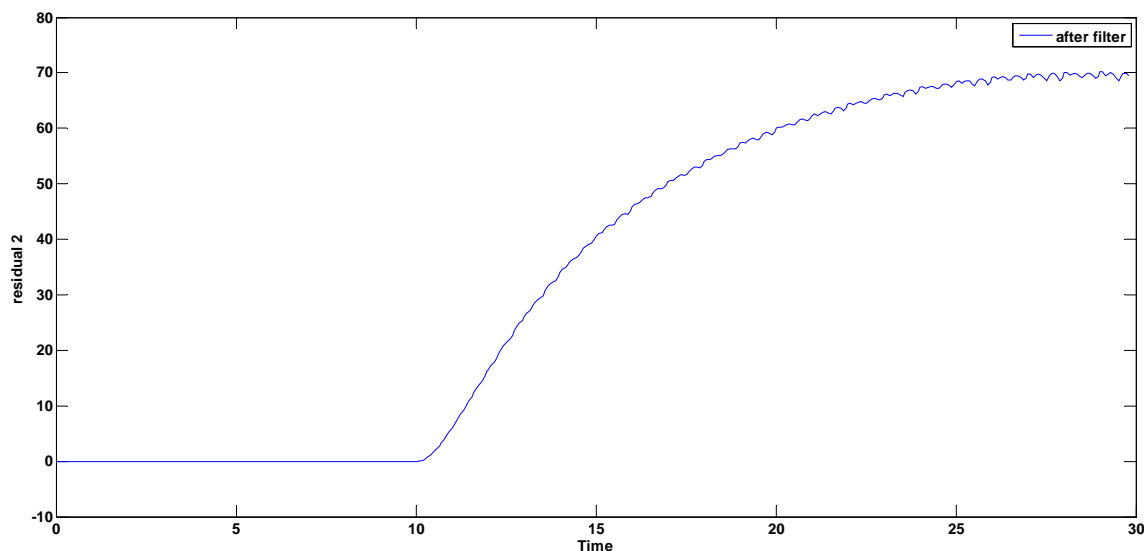


شکل ۴-۱۶ دومین سیگنال باقی مانده به ورودی اغتشاش

همانند آزمایش فوق خطایی از جنس شیب واحد به سیستم اعمال شده است و سیگنال باقی مانده بعد از عبور از فیلتر تشخیص خطا دارای عملکرد مطلوبی می باشد و به راحتی می توان آن را تشخیص داد.



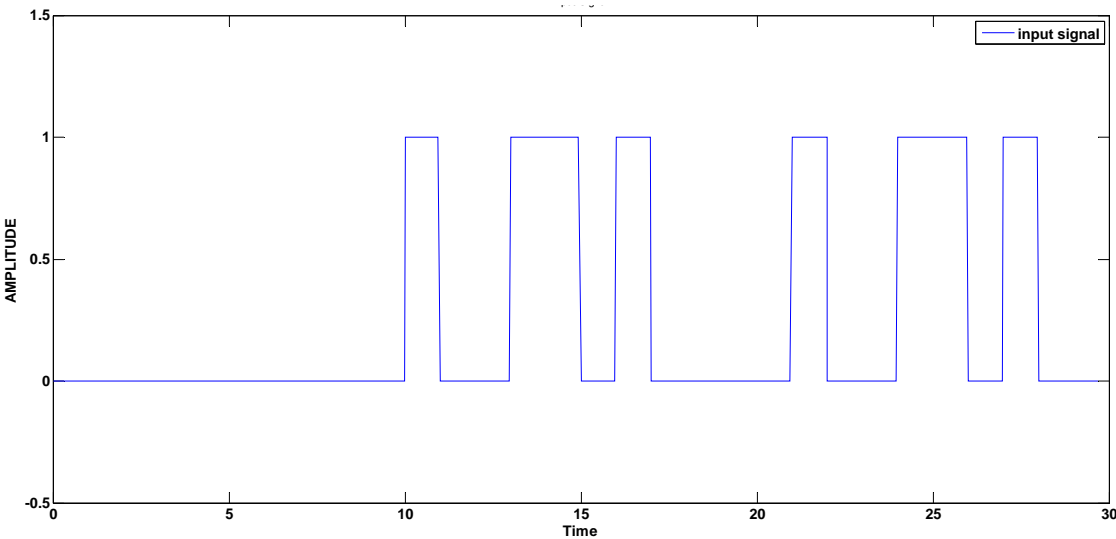
شکل ۴-۱۷ اولین سیگنال باقی مانده به ورودی خطا



شکل ۴-۱۸ دومین سیگنال باقی مانده به ورودی خطا

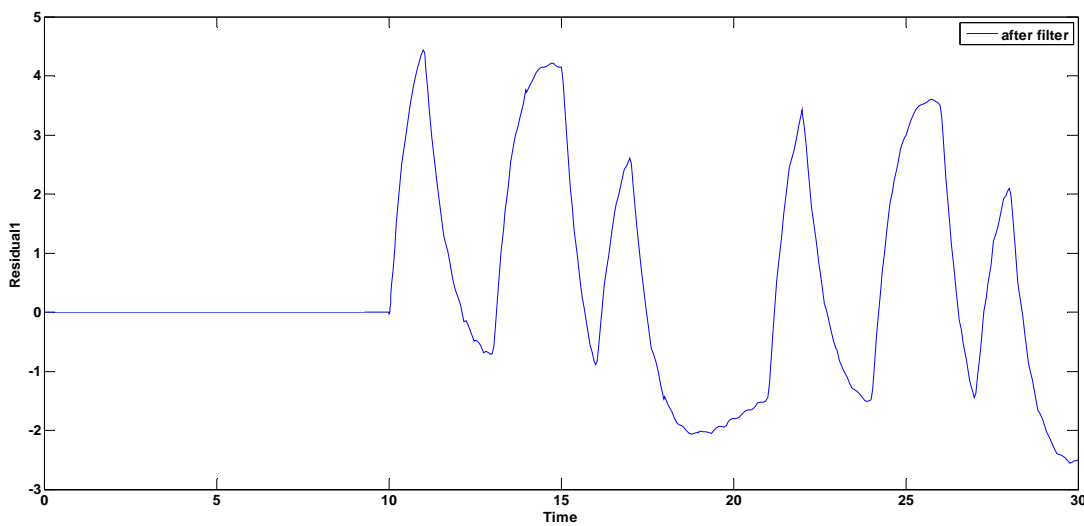
۵.۴ - خطأ و اغتشاش متناوب

برای بررسی عملکرد سیستم به ازای خطای متناوب نیز سیگنالی به فرم شکل ۱۹-۴ به عنوان ورودی در نظر گرفته شد و پس از اعمال آن به سیستم ، با مشاهده رفتار سیگنال باقیمانده می‌توان عملکرد مطلوب این فیلتر طراحی شده را تصدیق نمود.



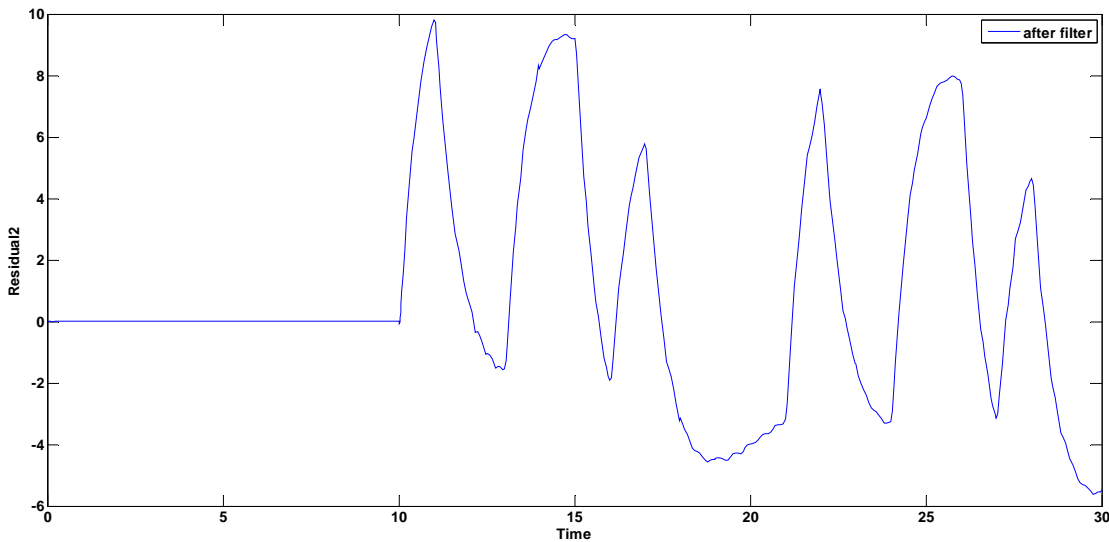
شکل ۱۹-۴ ورودی خطای متناوب

اولین سیگنال باقیمانده ، به ازای ورودی خطای شکل ۱۹-۴ در شکل ۲۰-۴ قابل مشاهده است.



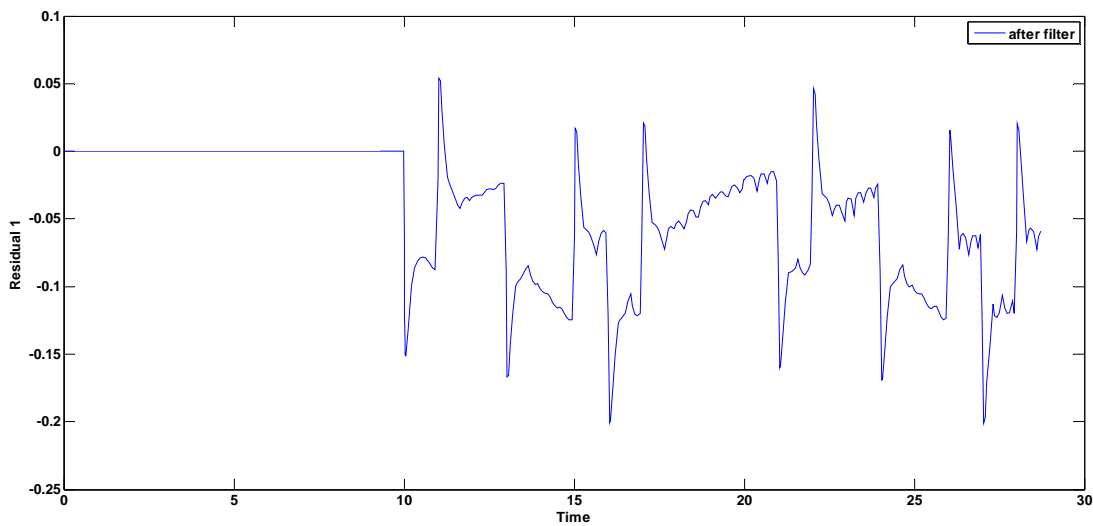
شکل ۲۰-۴ اولین سیگنال باقیمانده به ورودی خطأ

رفتار سیگنال باقی مانده دوم نیز در شکل ۲۱-۴ نشان داده است.

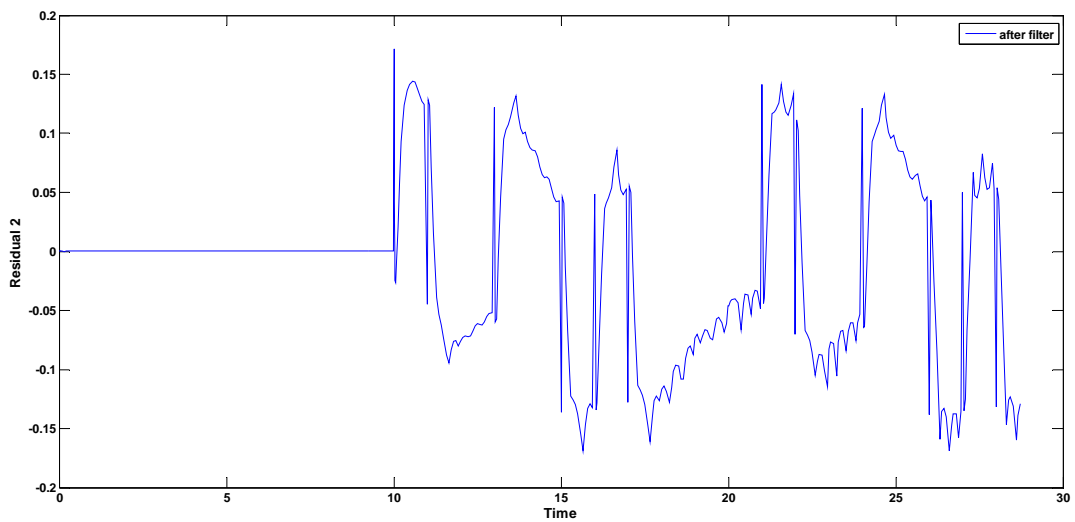


شکل ۲۱-۴ دومین سیگنال باقی مانده به ورودی خطا

حال اگر همان سیگنال شکل ۱۹-۴ را به عنوان اغتشاش به سیستم اعمال کنیم خروجی فیلتر مطابق شکل های ۲۲-۴ و ۲۳-۴ خواهد بود. همان طور که دیده می شود سیگنال باقی مانده به نسبت اثرش از بین رفته است.

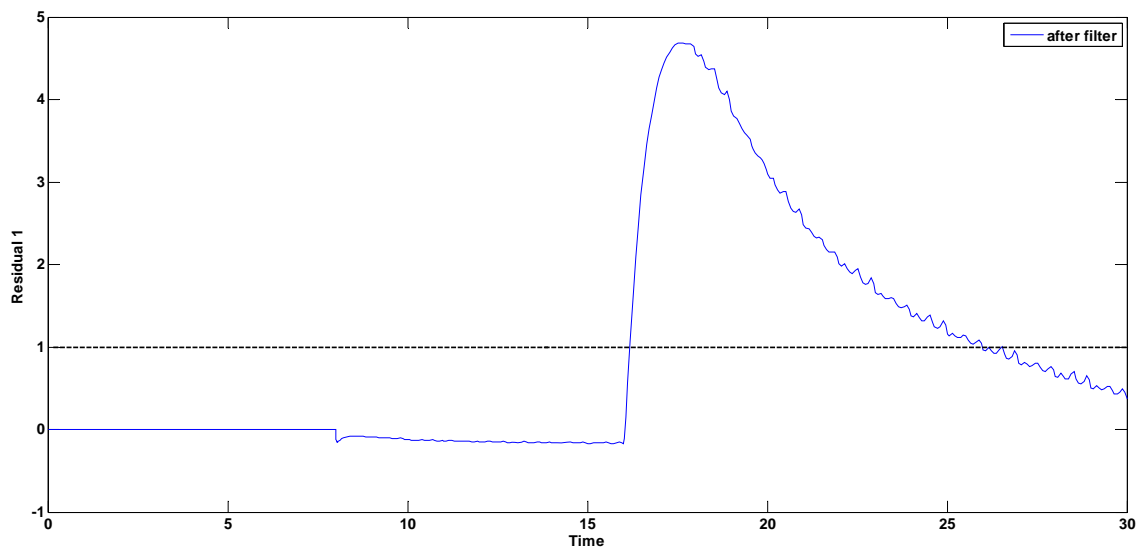


شکل ۲۲-۴ اولین سیگنال باقی مانده به ورودی اغتشاش

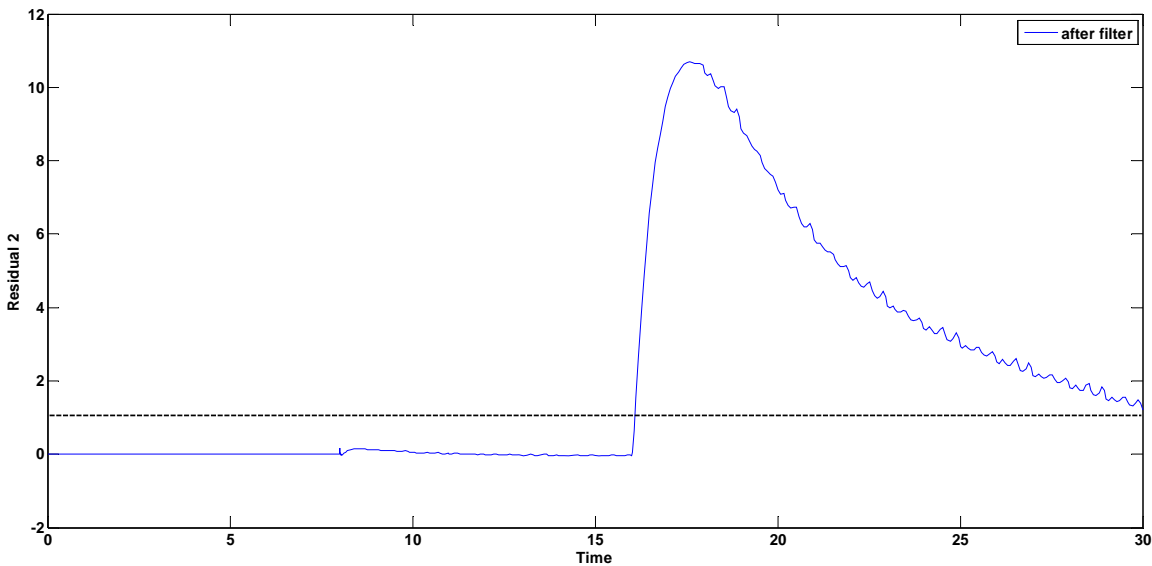


شکل ۲۳-۴ دومین سیگنال باقی مانده به ورودی اغتشاش

برای مقایسه بهتر، در ثانیه ۸ یک سیگنال اغتشاش از نوع پله واحد و در ثانیه ۱۶ نیز یک سیگنال خطأ از جنس پله واحد به سیستم اعمال شده است. سطح آستانه تشخیص نیز یک در نظر گرفته شده است. رفتار باقی مانده سیستم تشخیص خطأ در شکل ۲۴-۴ و ۲۵-۴ نشان داده شده است.



شکل ۲۴-۴ اولین سیگنال باقی مانده به ورودی خطأ و اغتشاش



شکل ۴-۲۵ اولین سیگنال باقی مانده به ورودی اغتشاش و خطا

۶.۴- نتیجه گیری:

بعد از مشاهده عملکرد مطلوب فیلتر طراحی تشخیص خطا با توجه به معادله (۳-۲۴) می توان داشت:

$$\|G_{rf}\|_2 = 20.44$$

$$\|G_{rd}\|_\infty = .13$$

$$\frac{\|G_{rf}\|_2}{\|G_{rd}\|_\infty} = \frac{20.44}{.13} = 157.24$$

این مقادیر به ازای مقادیر مختلف L_0 محاسبه شده است که در زیر قابل مشاهده است. دقت کنید که L_0 ها باید به گونه ای انتخاب شوند که فیلتر طراحی شده پایدار باشد. به راحتی می توان مشاهده نمود که نسبت H^∞ / H^2 فقط در فیلتر طراحی شده با روند بیان شده در فصل های قبل بهترین عدد را تولید می کند که نشان دهنده عملکرد بهتر این فیلتر می باشد.

$$\|G_{rf}\|_2 = 22.37$$

$$\|G_{rd}\|_\infty = 3.76$$

$$\frac{\|G_{rf}\|_2}{\|G_{rd}\|_\infty} = \frac{22.37}{3.76} = 5.949$$

همان طور که در مورد این فیلتر طراحی شده مشاهده می شود ، سه گروه از انواع خطاهای موجود ، به سیستم اعمال شده است و رفتار سیگنال باقی مانده نشان دهنده آن است که همه خطاهای اعمالی به سیستم به خوبی توسط فیلتر تشخیص خطا شناسایی می شوند و اگر همین سیگنال ها به صورت اغتشاش به سیستم کنترلی وارد شوند به طور محسوسی اثر آنها از بین می رود و این همان هدف اصلی در طراحی فیلتر تشخیص خطای مقاوم می باشد.

مراجع:

- [1] H. Ye, S. X. Ding and G. Wang,(2002) *Integrated design of fault detection systems in time-frequency domain*, IEEE Transaction on Automatic Control, Vol. 47, No. 2, 384-390.
- [2] F. Caliskan and C. M. Hajiyev, (2000) *EKF based surface fault detection and reconfiguration in aircraft control systems*, Proceedings of the 2000 American Control Conference, Vol. 2, 1220-1224.
- [3] D. U. Campos-Delgado and K. Zhou (2003) *A parametric optimization approach to $H\infty$ and $H2$ strong stabilization*, Automatica, Vol. 39, No. 7, 1205-1211,.
- [4] J. Chen and R. J. Patton (1999) *Robust Model-Based Fault Diagnosis for Dynamic Systems*, Kluwer Academic Publishers, Boston,.
- [5] S. X. Ding, J. Jeinsch, P. M. Frank and E. L. Ding (2000) *A unified approach to the optimization of fault detection systems*, International journal of adaptive control and signal processing, Vol. 14, 725-745,,
- [6] A. M. Edelmayer and J. Bokor, (June 2000) *Scaled $H\infty$ filtering for sensitivity optimization of detection filters* , SAFEPROCESS 2000, Vol. 1, 324-330, Budapest, Hungary
- [7] P. M. Frank and X. Ding (1997) *Survey of robust residual generation and evaluation methods in observer-based fault detection systems*, Journal of Process Control, Vol. 7, No. 6, 403-424,,
- [8] R. J. Patton(1997), *Robustness in model-based fault diagnosis: the 1997 situation*, IFAC Annual Reviews, No. 21, 101-121.
- [9] M. Gen and R. W. Cheng (2000) *Genetic Algorithms and Engineering Optimization*, John Wiley and Sons Inc., New York.
- [10] D. Henry and A. Zolghadri, (2005) *Design of fault diagnosis filters: a multi-objective approach*, Journal of the Franklin Institute, Vol. 342, 421-446.
- [11] D. Henry and A. Zolghadri (2006) *Norm-based design of robust FDI schemes for uncertain systems under feedback control: Comparison of two approaches*, Control Engineering Practice, Vol. 14, 1081-1097.

- [12] R. C. Horn and C. R. Johnson (1991) *Topics in Matrix Analysis*, Cambridge University Press, Cambridge.
- [13] M. Hou and R. J. Patton (1996) *An LMI approach to H_2/H_∞ fault detection observers*, Proceedings of UKACC International Conference on Control, 305-310.,
- [14] I. Izadi, T. W. Chen and Q. Zhao (2005) *Norm invariant discretization for sampled-data fault detection*, Automatica, Vol. 41, 1633-1637.,
- [15] I. Izadi, T. W. Chen and Q. Zhao (2006) *An H_∞ approach to fast rate fault detection for multirate sampled-data system*, Journal of Process Control, Vol. 16, 651-658.,
- [16] I. M. Jaimoukha, Z. Li and V. Papakos, *A matrix factorization solution to the H_2/H_∞ fault detection problem*, Automatica, Vol. 42, No. 11, 1907-1912, 2006.
- [17] F. Tao and Q. Zhao(August 2005), *Fault detection observer design with unknown inputs*, Proceeding of the 2005 IEEE Conference on Control Applications, 1275-1280, Toronto, Canada.
- [18] B. Jiang and F. Chowdhury (2005), *Fault estimation and accommodation for linear MIMO discrete-time systems*, IEEE Transactions on Control Systems Technology, Vol. 13, No. 3, 493-499.
- [19] R. J. Patton, J. Chen and J. H. P. Millar(1991), *A robust disturbance decoupling approach to fault detection in process system*, Proceedings of the 30th Conference on Decision and Control, 1543-1548, Brighton, England.
- [20] M. J. Khosrowjerdi, R. Nikoukhah and N. Safari-Shad (2004), *a mixed H_2/H_∞ approach to simultaneous fault detection and control*, Automatica, Vol. 40, No. 2, 261-267.
- [21] J. C. Lagarias, J. A. Reeds, M. H. Wright and P. E. Wright (1998), *Convergence properties of the Nelder-Mead simplex method in low dimensions*, SIAM Journal on Optimization, Vol. 9, No. 1, 112-147.
- [22] L. Li and G. Gu(2005), *Design of optimal zero-forcing precoders for MIMO channels via optimal full information control*, IEEE Transactions on Signal Processing, Vol. 53, No. 8, 3238-3246.,
- [23] G. P. Liu, J. B. Yang and J. F. Whidborne(2001), *Multiobjective Optimization and Control*, Research Studies Press Ltd., Baldock,,

- [24] N. Liu and K. Zhou(December 2007), *Optimal solutions to multi-objective robust fault detection problems*, Proceedings of the 46th IEEE Conference on Decision and Control, 981-988, New Orleans, USA.
- [25] H. Niemann and J. Stoustrup (2005), *an architecture for fault tolerant controllers*, International Journal of Control, Vol. 78, No. 14, 1091 -1110.
- [26] K. Zhou and Z. Ren (2001) ,*A New Controller Architecture for High Performance, Robust, Adaptive, and Fault Tolerant Control*, IEEE Transactions on Automatic Control, Vol. 46, No. 10, 1613-1618.
- [27] M. Zhong, S. X. Ding, J. Lam and H. Wang (2003), *An LMI approach to design robust fault detection filter for uncertain LTI systems*, Automatica, Vol. 39, No. 3, 543-550.
- [28] P. Zhang, H.Ye, S. X. Ding, G. Z. Wang and D. H. Zhou (2006), *on the relationship between parity space and H2 approach to fault detection*, System & Control Letters, Vol. 55, 94-100.
- [29] Y. M. Zhang and J. Jiang (December 1999), *Design of integrated fault detection, diagnosis and reconfigurable control systems*, Proceedings of 38th IEEE Conference on Decision and Control, Vol. 4, 3587-3592, Phoenix, USA.
- [30] Phalguna Kumar Rachinayani (May 2002), *"Master of science, Robust fault tolerant control for aircraft systems"*, electrical and computer engineering.

Abstract:

During the past two decades, modern dynamic systems have become very complex with large number of components and functional units. However occurring a fault is unavoidable. Faults can cause serious damage and make systems to become totally failure. Hence investigators pay attention to design safety and reliable systems. Fault detection system is a first step for fault tolerant system.

The presence of model uncertainty, disturbance and noise is a main problem in practical fault detection systems since these uncertainties have the same effect as fault on fault identification signal (residual).distinguish between the effects of uncertainties and fault on residual are too hard. The design of fault detection system that is insensitive to uncertainty and at the same time to be sensitive to faults is called *Robust Fault Detection systems*.

Generation of robust residual signal is a main purpose in fault detection system. Fault detection systems make decision on this signal. Designing fault detection filter by parity equation with H_2/H_∞ standard is provided in this dissertation.

Simulation results on Boeing 747 aircraft illustrate high speed of this filter, good sensitive to fault, minimum sensitivity to disturbance and good response to any fault models.

Keywords: Robust fault detection, Residual generation, H_2/H_∞ filter



Shahrood University of technology

Faculty of electrical and robotic engineering

Robust residual generation for fault detection by H_2/H_∞ optimization

Mojtaba Esmaeilnia Shirvani

Supervisor(s):

Dr. Mohammad Ali Sadrnia

Winter 2011